Österreichische Patentanmeldung

(10)

(21) Anmeldenummer: A 1359/2007

(22) Anmeldetag:

(12)

30.08.2007

(43) Veröffentlicht am: 15.03.2009

(51) Int. Cl.⁸: **G01N 33/68** (2006.01),

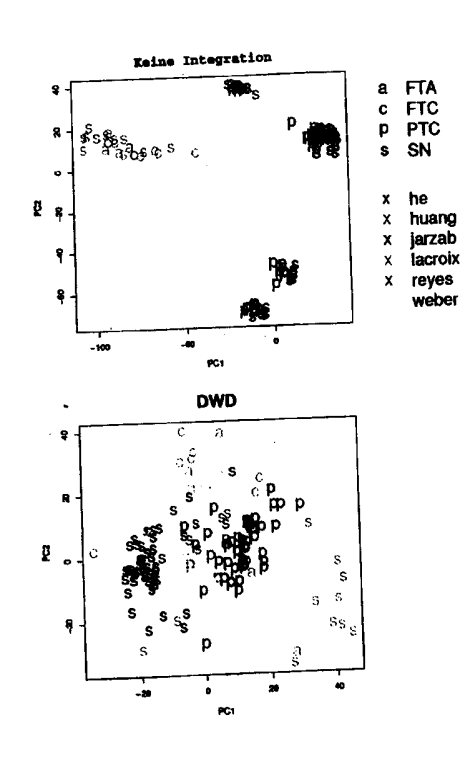
G06F 19/00 (2006.01)

(73) Patentinhaber:

AUSTRIAN RESEARCH CENTERS GMBH - ARC A-1220 WIEN (AT)

(54) SET VON TUMOR-MARKERN

(57) Die vorliegende Erfindung sieht ein Set von Komponenten vor, welche für Tumormarker spezifisch sind, insbesondere von follikulärem Schilddrüsenkarzinom (FTC) und papillärem Schilddrüsenkarzinom (PTC), als auch ein Verfahren zum Identifizieren von Markern von einer genetischen Krankheit.





Zusammenfassung

Die vorliegende Erfindung sieht ein Set von Komponenten vor, welche für Tumormarker spezifisch sind, insbesondere von follikulärem Schilddrüsenkarzinom (FTC) und papillärem Schilddrüsenkarzinom (PTC), als auch ein Verfahren zum Identifizieren von Markern von einer genetischen Krankheit.

Die vorliegende Erfindung betrifft den Bereich der Krebsdiagnose und diagnostische Mittel dafür.

Schilddrüsenknötchen sind in Gebieten mit Iodmangel, wie den europäischen Alpenregionen, endemisch, wo sie eine Prävalenz von 10-20% haben. Sie werden durch ihre Histologie in die 2 gutartigen Typen Struma nodosa (SN) und follikuläres Schilddrüsenadenom (FTA) und die bösartigen Gebilde follikuläres Schilddrüsenkarzinom (FTC), papilläres Schilddrüsenkarzinom (PTC), medulläres Schilddrüsenkarzinom (MTC) und anaplastisches Schilddrüsenkarzinom (ATC) klassifiziert. Herkömmlicherweise wird Unterscheidung zwischen gutartigen und bösartigen Schilddrüsenknötchen durch Szintigraphie und Feinnadelaspiration, gefolgt von Histologie durchgeführt. Trotz vieler Fortschritte bei der Diagnose und Therapie von Schilddrüsenknötchen und Schilddrüsenkrebs haben diese Verfahren einen gut bekannten Mangel an Spezifität, insbesondere für die Unterscheidung zwischen FTA und FTC, was dazu führt, dass eine Anzahl von Patienten unnötigerweise auf bösartige Krankheit behandelt wird.

In Anbetracht der diagnostischen Beschränkungen von vorhergehenden Verfahren, insbesondere Feinnadelaspiration gefolgt von Zytologie, haben mannigfaltige Forscher Expressionsprofilierungsstudien mit der Hoffnung durchgeführt, neue diagnostische Werkzeuge zu identifizieren. Solche Analysen versuchen unterschiedlich exprimierte Gene mit einer wichtigen Rolle bei Krankheitsentwicklung oder Fortschreiten unter Verwendung von Transkriptlevel Expressions-Profiling-Technologien in großem Maßstab wie cDNA Microarrays, Oligonukleotid-Arrays und Serieller Analyse von Genexpression (SAGE) zu identifizieren. Typischerweise werden Duzende oder Hunderte von Genen identifiziert, wobei von vielen erwartet wird, dass sie falsche Positive sind, und nur ein kleiner Bruchteil als diagnostische/prognostische Marker oder therapeutische Ziele brauchbar ist (Griffith et al., J. Clin. Oncol. 24 (31): 5043-5051 (2006)).

Bei anderen Krebstypen ist gezeigt worden, dass Genexpressions-Profiling wesentlichen Wert zur Unterscheidung der verschiedenen klinisch relevanten Tumorgebilde beitragen kann.

US-2006/183141 A beschreibt z.B. Klassifizierung von Tumormarkern aus einer Kern-Serumantwort-Signatur. Verschiedene Studien haben versucht, die verschiedenen Gebilde von Schilddrüsenkarzi-

nom auf der Basis ihrer Genexpressionsprofile zu klassifizieren, von denen jedes zwischen 2 der 5 Gebilde unterscheidet. Jedoch haben die Studien keine oder nur sehr wenige Gene gemeinsam und Anwenden eines Klassifikators von einer Studie auf die Daten von einer anderen Studie ergeben im Allgemeinen schlechte Klassifizierungsergebnisse.

Es ist ein Ziel der vorliegenden Erfindung, verlässliche unterscheidende Marker für die Diagnose von Krebs vorzusehen, insbesondere um gutartige Schilddrüsenknötchen von bösartigem follikulärem Schilddrüsenkarzinom (FTC) und papillärem Schilddrüsenkarzinom (PTC) zu unterscheiden.

Daher sieht die vorliegende Erfindung ein Set von Komponenten vor, welche für mindestens 3 Tumormarker spezifisch sind, ausgewählt aus den Tumormarkern PI-1 bis PI-33, PII-1 bis PII-64, PIII-1 bis PIII-70, fi-1 bis fi-147, PIV-1 bis PIV-9, vorzugsweise PIV-4 oder PIV-5, und PV-1 bis PV-11, vorzugsweise PV-1, PV-2 und PV-4 bis PV-11. Diese Tumormarker betreffen verschiedene Gene, welche aberrierend in Tumoren exprimiert werden, und werden in Tabellen 1 bis 6 angegeben und können durch ihr Genidentifizierungszeichen, ihren deskriptiven Gennamen, aber am eindeutigsten durch ihre UniGeneID oder ihre Eingangsnummer identifiziert werden, welche sich auf spezifische Sequenzen in üblichen Sequenz-Datenbanken bezieht, wie NCBI GenBank, EMBL-EBI Database, EnsEMBL oder die DNA Data Bank von Japan. Diese Marker sind in Form von bevorzugten Sets (PI bis PV, FI) identifiziert worden, aber können für das Set der Erfindung in jeder Form als Ziele vereinigt werden.

Tabelle 1: PTC-Markerset PI-1 bis PI-33

Num- mer P I-	Marker- gen	Beschreibung des Gens	Eingangsnummer	UniGenelD
1	BBS9	Bardet-Bied Syndrom 9	NM_198428 NM_001033605 NM_001033604 NM_014451	Hs.372360
2	C13orf1	Chromosom 13 offenes Leseraster 1	NM_020456	Hs.44235
3	CB- FA2T3	Kern-bindender Faktor, Runt Domäne, alpha Untereinheit 2	NM_005187 NM_175931	Hs.513811
4	CDT1	Chromatin Lizenzierung und DANN Replikationsfaktor 1	NM_030928	Hs.122908





_	3	_

-		V-crk Sarkom Virus CT10 Onkogen		
5		Homolog (Avian)	NM_016823 NM_005206	Hs.638121
6	CTPS	CTP Synthase	NM_001905	Hs.473087
7	DAPK2	Tod-assoziierte Proteinkinase 2	NM_014326	Hs.237886
8	EIF5	Eukaryotischer Translation-Initiationsfaktor 5	NM_001969 NM_183004	Hs.433702
9	EREG	Epiregulin	NM_001432	Hs.115263
	GK	Glycerinkinase	NM_203391 NM_000167	Hs.1466
	GPAT- CH8	G Patch Domain enthaltend 8	NM_001002909	Hs.463129
12	HDGF	Hepatoma-abgeleiteter Wachstumsfaktor (High-Mobility-Group Protein 1-ähnlich)	NM_004494	Hs.506748
13	IRF2BP1	Interferon regulatorischer Faktor 2 Bindungsprotein 1	NM_015649	Hs.515477
14	KRT83	Keratin 83	NM_002282	Hs.661428
15	MYOD1	Myogene Differenzierung 1	NM_002478	Hs.181768
16	NME6	Nicht-metastatische Zellen 6, Protein exprimiert in (Nukleosid-Diphosphat Kinase)	NM_005793	Hs.465558
17	POLE3	Polymerase (DNA dirigiert), Epsilon 3 (p17 Untereinheit)	NM_017443	Hs.108112
18	PPP1R1 3B	Proteinphosphatase 1, regulatorische (Inhibitor) Untereinheit 13B	NM_015316	Hs.436113
19	PRPH2	Peripherin 2 (retinale Degeneration, langsam)	NM_000322	Hs.654489
20	RASSF7	RAS-Aassoziations (RalGDS/AF-6) Domänen Familie 7	NM_003475	Hs.72925
21	ROCK2	Rho-assoziiert, Coiled-Coil enthaltende Proteinkinase 2	NM_004850	Hs.591600
22	RTN1	Reticulon 1	NM_021136 NM_206857 NM_206852	Hs.368626
23	S100B	S100 Calcium-bindendes Protein B	NM_006272	Hs.422181
24	SLIT2	Slit homolog 2 (Drosophila)	NM_004787	Hs.29802
25	SNRPB2	Kleines nukleares Ribonucleoprotein Polypeptid B"	NM_003092 NM_198220	Hs.280378
26	SPAG7	Sperma-assoziiertes Antigen 7	NM_004890	Hs.90436
27	STAU1	Staufen, RNA Bindungsprotein, Homolog 1 (Drosophila)	NM_017453 NM_001037328 NM_004602 NM_017452 NM_017454	Hs.596704
28		Suppressor von Ty 5 Homolog (S. cerevisiae)	NM_003169	Hs.631604
29		T-Box 10	NM_005995	Hs.454480
	TLK1	Tousled-ähnliche Kinase 1	NM_012290	Hs.655640
31		TransMembran 4 L six Familie Mitglied 4	NM_004617	Hs.133527
32	TXN	Thioredoxin	NM_003329	Hs.435136
33	UFD1L	Ubiquitin fusion degradation 1 ähnlich (Hefe)	NM_005659 NM_001035247	Hs.474213—



Tabelle 2: PTC Markerset PII-1 bis PII-64

	e 2: PT	C Markerset PII-1 bis PII-6	4	
Num-			ļ	
mer P II-	Marker- gen	Beschreibung des Gens	Eingangsnummer	UniGenelD
		Alkohol Dehydrogenase IB (Klasse I), beta	NIM 000000	110.4
1	ADH1B	Polypeptid	NM_000668	Hs.4
2	AGR2	Anterior Gradient Homolog 2 (Xenopus laevis)	NM_006408	Hs.530009
			NM 031850 NM 004835	
3	AGTR1	Angiotensin II Rezeptor, Typ 1	NM_009585 NM_032049	Hs.477887
4	AGTR1	Angiotensin II Rezeptor, Typ 1	NM_000685	Hs.654382
5	ALDH1A1	Aldehyd Dehydrogenase 1 Familie, Mitglied A1	NM_000689	Hs.76392
6	ALDH1A3	Aldehyd Dehydrogenase 1 Familie, Mitglied A3	NM 000693	Hs.459538
7	AMIGO2	Adhäsionsmolekül mit lg-ähnlicher Domaine 2	NM 181847	Hs.121520
	7 11111002	ATPase, Ca++ transportierend,		
8	ATP2C2	Typ 2C, Mitglied 2	NM_014861	Hs.6168
		BH3 interagierende Domäne Tod-	NM_197966 NM_001196	
9	BID	Agonist	NM_197967	Hs.591054
10	C7orf24	Chromosom 7 offenes Leseraster 24	NM_024051	Hs.530024
11	CA4	Carbonische Anhydrase IV	NM_000717	Hs.89485
12	CCL21	Chemokin (C-C Motiv) Ligand 21	NM_002989	Hs.57907
		CD55 Molekül, Zerfall-Beschleunigungs-		
		faktor für Komplement (Cromer blood		
13	CD55	group)	NM_000574	Hs.527653
	CDH16	Cadherin 16, KSP-Cadherin	NM 004062	Hs.513660
		Cadherin 3, Typ 1, P-Cadherin	ļ	
15	CDH3	(plazental)	NM 133458 NM 001793	Hs.461074
	CFI	Komplement-Faktor I	NM_000204	Hs.312485
		Chitinase 3-ähnlich 1 (Cartilage		
17	CHI3L1	Glycoprotein-39)	NM 001276	Hs.382202
		Kohlenhydrat (N-Acetylglucosamin-6-O)		
18	CHST2	Sulfotransferase 2	NM 004267	Hs.8786
	011012	Ounotraniorado L		
	1	Objects 2000 international date		
		Cbp/p300-interagierender		
19	CITED2	Transaktivator, mit Glu/Asp-reicher carboxyterminaler Domäne, 2	NM 006079	Hs.82071
20		Chlorid-Kanal Kb	NM 000085	Hs.352243
	OLUMND	Oniona-Nana No	14141_00000	110.002270
21	COMP	Cartilage oligomeres Matrixprotein	NM 000095	Hs.1584
22	+	Cathepsin H	NM 004390 NM 148979	
	J	Deiodinase, lodthyronin,	NM 013989 NM 000793	1
23	DIO2	Typ II	NM 001007023	Hs.202354
	1	1.1c		





		- 5 -		
	Ì	DIRAS Familie, GTP-bindend		
24	DIRAS3	RAS-ähnlich 3	NM_004675	Hs.194695
	DUSP4	Dual spezifische Phosphatase 4	NM_057158 NM_001394	Hs.417962
	DUSP5	Dual spezifische Phosphatase 5	NM_004419	Hs.2128
			NM_207032 NM_207034	
27	EDN3	Endothelin 3	NM_207033 NM_000114	Hs.1408
		Ectonucleosid Triphosphat	NM_001776	
28	ENTPD1	Diphosphohydrolase 1	NM_001098175	Hs.576612
29	FHL1	Vier und eine Halbe LIM Domänen 1	NM_001449	Hs.435369
30	GDF15	Wachstumsdifferenzierungsfaktor 15	NM_004864	Hs.616962
			NM_201591 NM_005277	11- 75040
	GPM6A	Glycoprotein M6A	NM_201592	Hs.75819 Hs.449630
	HBA1	Hämoglobin, alpha 1	NM_000558	Hs.471508
33	IRS1	Insulin Rezeptor Substrat 1	NM_005544	HS.47 1500
34	KCNJ2	Einwärts gleichrichtender Kaliumkanal, Unterfamilie J, Mitglied 2	NM_000891	Hs.1547
35	KCNN4	Calcium-aktivierter Kaliumkanal von mittlerer/niedriger Leit- fähigkeit, Unterfamilie N, Mitglied 4	NM_002250	Hs.10082
36	KLK10	Kallikrein-bezogene Peptidase 10	NM_002776 NM_001077500 NM_145888 NM_001017402	Hs.275464
37	LAMB3	Laminin, beta 3	NM_000228	Hs.497636
	LCN2	Lipocalin 2 (Onkogen 24p3)	NM_005564	Hs.204238
	LMOD1	Leiomodin 1 (Glattmuskel)	NM_012134	Hs.519075
40	MATN2	Matrilin 2	NM_002380 NM_030583	Hs.189445
		Metallophosphoesterase		000705
	MPPED2	Domäne enthaltend 2	NM_001584	Hs.289795
	MVP	Major-Vault-Protein	NM_017458 NM_005115	Hs.632177 Hs.505326
43	NELL2	NEL-ähnlich 2 (Huhn)	NM_006159	HS.505520
	NFE2L3	Nuklearer Faktor (Erythroid-abgeleitet 2)-ähnlich 3 Niemann-Pick Krankheit, Typ C2	NM_004289 NM_006432	Hs.404741 Hs.433222
45	INPUZ	Memanii-Fick Mankheit, Typ 02	NM 001037132	
46	NRCAM	Neuronales Zelladhäsionsmolekül	NM_001037132 NM_005010 NM_001037133	Hs.21422
		Nuklearrezeptor interagierendes		
47	NRIP1	Protein 1	NM_003489	Hs.155017
		3'-Phosphoadenosin	NM_001015880	
48	PAPSS2	5'-Phosphosulfat Synthase 2	NM_004670	Hs.524491
49		PDZ und LIM Domäne 4	NM_003687	Hs.424312
50	PDZ- K1IP1	PDZK1 interagierendes Protein 1	NM_005764	Hs.431099
	PIP3-E	Phosphoinositid-bindendes Protein PIP3-E	NM_015553	Hs.146100
	PLAU	Plasminogen Aktivator, Urokinase	NM_002658	Hs.77274
	PRSS2	Protease, Serin, 2 (Trypsin 2)	NM_002770	Hs.622865 Hs.25338
54	PRSS23	Protease, Serin, 23	NM_007173	⊓8.∠5338
FI	RAP1-	RAP1 GTPase aktivierendes Protein	NM 002885	Hs.148178
	5 GAP 5 S100A11	S100 Calcium bindendes Protein A11	NM 005620	Hs.417004
- 30	J J J J J J J J J J J J J J J J J J J	O 100 Odiolatii biraciiaco i fotolii/111	1.000	



57	SFTPB	Surfaktant, pulmonal-assoziiertes Protein B	NM_198843 NM_000542	Hs.512690
58	SLPI	Sekretorischer Leukozyten Peptidase Inhibitor	NM_003064	Hs.517070
59	SOD3	Superoxid Dismutase 3, extrazellulär	NM_003102	Hs.2420
60	SPINT1	Serin-Peptidase Inhibitor, Kunitz Typ 1	NM_181642 NM_003710 NM 001032367	Hs.233950
61	SYNE1	Spectrin repeat containing, nuclear envelope 1	NM_182961 NM_033071 NM_015293 NM_133650	Hs.12967
62	TACSTD2	Tumor-assoziierter Calcium Signal-Transducer 2	NM_002353	Hs.23582 Hs.488240
63 64	WASF3	Uridin-Phosphorylase 1 WAS Proteinfamilie, Mitglied 3	NM_181597 NM_003364 NM_006646	Hs.635221

Tabelle 3: PTC Markerset PIII-1 bis PIII-70

	e 3: PTC	Markerset PIII-1 bis PIII	-70	
Num-				
mer P	3 dt	Deschasibung des Comp	Eingengenummer	UniGeneID
-	Markergen	Beschreibung des Gens	Eingangsnummer NM 000041	Hs.654439
1	APOE	Apolipoprotein E 5-Aminoimidazol-4-carboxamid Ribonu-	NWI_00041	115.004409
		kleotid Formyltransferase/IMP Cyclohy-		
2	ATIC	drolase	NM 004044	Hs.90280
	7110	Brain abundant, Membran-gebundenes		
3	BASP1	Signalprotein 1	NM_006317	Hs.201641
	C9orf61	Chromosom 9 offenes Leseraster 61	NM 004816	Hs.118003
	CCL13	Chemokin (C-C Motiv) Ligand 13	NM 005408	Hs.414629
	002.0		NM_001001548	
		CD36 Molekül (Thrombospondin-Rre-	NM_001001547	
6	CD36	zeptor)	NM_000072	Hs.120949
		Cadherin 6, Typ 2, K-Cadherin (fötal		
	CDH6	Niere)	NM_004932	Hs.171054
	CFB	Komplement-Faktor B	NM_001710	Hs.69771
	CFD	Komplement-Faktor D (Adipsin)	NM_001928	Hs.155597
10	CLDN10	Claudin 10	NM_182848 NM_006984	Hs.534377
			NM_080629 NM_001854	11- 500440
11	COL11A1	Collagen, Typ XI, alpha 1	NM_080630 NM_005203 NM_080804	Hs.523446
			NM_080798 NM_080803	
		·	NM 080802 NM 080799	
			NM 080800	
			NM 080801NM 080808	
			NM 080809 NM 080805	
			NM 080807 NM_080806	
		1	NM 080811	
	1		NM 080810NM 080812	
			NM_080813 NM_080814	ļ
12	COL13A1	Collagen, Type XIII, alpha 1	NM_080815	Hs.211933
13	CORO2B	Coronin, Actin-bindendes Protein, 2B	NM_006091	Hs.551213
	CRLF1	Cytokin-Rezeptor-ähnlicher Faktor 1	NM_004750	Hs.114948
15	CXorf6	Chromosom X offenes Leseraster 6	NM_005491	Hs.20136
		Defekt-spezifisches DNA-Bbindungspro-		
16	DDB2	tein 2, 48kDa	NM_000107	Hs.655280
			NM_001039350	11- 400004
	DPP6	Dipeptidyl-Peptidase 6	NM_130797 NM_001936	
18	ECM1	Extrazelluläres Matrixprotein 1	NM_004425 NM_022664	Hs.81071





_	7	_
---	---	---

1	İ	•	NM_004105	
			NM_001039348	
19	EFEMP1	trazelluläres Matrixprotein 1		Hs.76224
			NM_206594 NM_001438	
20	ESRRG	Estrogen-bezogener Rezeptor gamma		Hs.444225
21	ETHE1	Ethylmalonsäure-Enzephalopathie 1		Hs.7486
			NM_000043 NM_152872	
			NM_152871 NM_152873	
ĺ		Fas (TNF-Rrezeptor Überfamilie, Mitglied	NM_152875 NM_152874	
22	FAS	6)		Hs.244139
23	FMOD	Fibromodulin	NM_002023	Hs.519168
		Gamma-Aminobuttersäure (GABA) B		LI- 400040
24	GABBR2	Rezeptor, 2	NM_005458	Hs.198612
0.5	ONE	LIDD Colostons 4 Enimeross	NM_000403 NM_001008216	Hs.632380
25	GALE	UDP-Galactose-4-Epimerase Glycine-Amidinotransferase (L-	14141_001000210	113.002000
26	GATM	Arginine:Glycin-Amidinotransferase)	NM_001482	Hs.75335
		Wachstumsdifferenzierungsfaktor 10	NM 004962	Hs.2171
	GHR	Wachstumshormonrezeptor	NM 000163	Hs.125180
29	GPC3	Glypican 3	NM 004484	Hs.644108
29	GPC3	Interzelluläres Adhäsionsmolekül 1	14101_004404	110.011100
30	ICAM1	(CD54), humaner Rhinovirus-Rezeptor	NM 000201	Hs.643447
	107(11)	Inhibitor von DNA bindendem 3, domi-		
	٠	nant negativem Helix-Schleife-Helix		
31	ID3	Protein	NM_002167	Hs.76884
32	IER2	Immediate-Early-Respons 2	NM_004907	Hs.501629
		Insulin-ähnliches Wachstumsfaktor bind-		
33	IGFBP6	endes Protein 6	NM_002178	Hs.274313
		IQ Motiv enthaltendes GTPase aktivie-	NA 000033	Hs.291030
34	IQGAP2	rendes Protein 2 Integrin, alpha 2 (CD49B, alpha 2 Un-	NM_006633	H5.291030
25	ITGA2	tereinheit von VLA-2 Rezeptor)	NM 002203	Hs.482077
30	IIGAZ	Integrin, alpha 3 (Antigen CD49C, alpha	TIM_002200	
36	ITGA3	3 Untereinheit von VLA-3 Rezeptor)	NM_002204 NM_005501	Hs.265829
	ITM2A	Integrales Membranprotein 2A	NM 004867	Hs.17109
	KIAA0746	KIAA0746 Protein	NM_015187	Hs.479384
	117010740	Leucin-reiche Wiederholungen und Im-		
39	LRIG1	munoglobulin-ähnliche Domänen 1	NM_015541	Hs.518055
		niedrigdichtes Lipoprotein-bezogenes		
40	LRP2	Protein 2	NM_004525	Hs.470538
		Lymphozyten Antigen 6 Lomplex, Lokus	NINA 000046	Un 501000
41		E	NM_002346	Hs.521903
42	MAPK13	Mitogen-aktivierte Proteinkinase 13	NM_002754 NM_001012334	Hs.178695
		Baidkin / Nourit washetum sfördernder	NM 001012333	ļ
42	MDK	Midkin (Neurit wachstumsfördernder Faktor 2)	NM_002391	Hs.82045
43	MDK	Myeloid/Lymphoid oder Leukämie von	1411_002001	110.020.0
		gemischter Abstammung (trithorax		
44	MLLT11	homolog, Drosophila)	NM_006818	Hs.75823
45		Multimerin 1	NM 007351	Hs.268107
	MTMR11	Myotubularin-bezogenes Protein 11	NM 181873	Hs.425144
47		Matrix-Remodelling assoziiertes 8	NM 032348	Hs.558570
		NGFI-A Bindungsprotein 2 (EGR1 Bin-		
48	NAB2	dungsprotein 2)	NM_005967	Hs.159223
49	NMU	Neuromedin U	NM_006681	Hs.418367
		Okulokutaner Albinismus II (pink-eye di-	NA 000075	U- 654444
50	OCA2	lution homolog, Maus)	NM_000275	Hs.654411
	DDEEA	Dhaanhadiastaraaa EA aCAAD anavifach	NM_001083 NM_033430 NM_033437	Hs.647971
51		Phosphodiesterase 5A, cGMP-spezifisch Pleiomorphes Adenom-Gen 1	NM 002655	Hs.14968
52	PLAG1	Fleibiliotphes Adenotit-Gen 1	14101_002000	11.0.1.1000





_	R	_
	O	

		Proteolipidpprotein 2 (Kolonepithelium-		
53	PLP2	angereichert)	NM_002668	Hs.77422
54	PLXNC1	Plexin C1	NM_005761	Hs.584845
55	PRKCQ	Proteinkinase C, theta	NM_006257	Hs.498570
56	PRUNE	Prune homolog (Drosophila)	NM_021222	Hs.78524
			NM_004580 NM_183234	
57	RAB27A	RAB27A, Mitglied RAS Onkogen Familie	NM_183235 NM_183236	Hs.654978
58	RYR2	Ryanodin-Rezeptor 2 (Herz)	NM_001035	Hs.109514
59	SCEL	Sciellin	NM_144777 NM_003843	Hs.534699
	SE-			
60	LENBP1	Selenium bindendes Protein 1	NM_003944	Hs.632460
61	SORBS2	Sorbin und SH3 Domäne enthaltend 2	NM_021069 NM_003603	Hs.655143
62	STMN2	Stathmin-ähnlich 2	NM_007029	Hs.521651
63	TBC1D4	TBC1 Domänen-Familie, Mitglied 4	NM_014832	Hs.210891
		Transmembran 4 L six Familie Mitglied		
64	TM4SF4	4	NM_004617	Hs.133527
65	TNC	Tenascin C (Hexabrachion)	NM_002160	Hs.143250
			NM_001003395	
			NM_003287	
			NM_001003396	1
66	TPD52L1	Tumorprotein D52-ähnlich 1	NM_001003397	Hs.591347
67	TSC22D1	TSC22 Domänen-Familie,Mitglied 1	NM_183422 NM_006022	Hs.507916
		Tetratricopeptid Wiederholungsdomäne		
68	TTC30A	30A	NM_152275	Hs.128384
		<u></u>	NM_003383	11- 070400
	VLDLR	Sehr niedrigdichter Lipoproteinrezeptor	NM_001018056	Hs.370422
70	WFS1	Wolfram-Syndrom 1 (Wolframin)	NM_006005	Hs.518602

Tabelle 4: FTC Markerset FI-1 bis FI-147

Num				
mer Fl-	Markergen	Beschreibung des Gens	Eingangsnummer	UniGenelD
1		Apoptose antagonisierender Transkriptionsfaktor	NM_012138	Hs.195740
2	ACOX3	Acyl-Coenzym A Oxidase 3, Pristanoyl	NM_003501	Hs.479122
3	AHDC1	AT-Haken, DNA bindendes Motiv, enthal- tend 1	NM_001029882	Hs.469280
4	ALAS2	Aminolevulinat, delta-, Synthase 2 (sideroblastische/hypochrome Anämie)	NM_000032 NM_001037968 NM_001037967 NM_001037969	Hs.522666
5	ALKBH1	AlkB, Alkylierung Repair Homolog 1 (E. coli)	NM_006020	Hs.94542
6	ANGPTL2	Angiopoietin-ähnlich 2	NM_012098	Hs.653262
7	AP2A2	Adaptor-bezogener Proteinkomplex 2, alpha 2 Untereinheit	NM_012305	Hs.19121
8	APOBEC3G	Apolipoprotein B mRNA editierendes Enzym, katalytisch Polypeptid-ähnlich 3G	NM_021822	Hs.660143
9	APRIN	Androgen-induzierter Proliferationshemmer	NM_015032	Hs.693663
		Aryl Kohlenwasserstoff Rezeptor nuklearer	NM_001668 NM_178427	11- 020440
10	ARNT	Translokator	NM_178426	Hs.632446
11	AZGP1	Alpha-2-Glycoprotein 1, Zink-bindend	NM_001185	Hs.546239
12	BAT2D1	BAT2 Domäne enthaltend 1	NM_015172	Hs.494614
13	BATF	Basischer Leukin-Zipper Transkriptionsfakt- or, ATF-ähnlich	NM_006399	Hs.509964





- 9 -	
-------	--

14	BPHL	Biphenyl hydrolase-ähnlich (Serin-Hhydrolase	NM 004332	Hs.10136
	C13orf1	Chromosom 13 offenes Leseraster 1	NM 020456	Hs.44235
	C14orf1	Chromosom 14 offenes Leseraster 1	NM 007176	Hs.15106
17	C2orf3	Chromosom 2 offenes Leseraster 3	NM 003203	Hs.303808
	020113		NM_001755	
18	CBFB	Kern-bindender Faktor, beta Untereinheit	NM_022845	Hs.460988
19	CBR3	Carbonyl-Rreduktase 3	NM_001236	Hs.154510
20	CBX5	Chromobox Homolog 5 (HP1 alpha Homolog, Drosophila)	NM_012117	Hs.632724
		Coolin F2	NM_057749 NM 057735	Hs.567387
21	CCNE2	Cyclin E2	NM_002389	113.007007
			NM_172354	
			NM_172351 NM_172355	
			NM 172352	
			NM 172359	
			NM_172357	
			NM_172360	
			NM_153826	
			NM_172358	
			NM_172356	
			NM_172353	
22	CD46	CD46 Molekül, Komplement regulator- isches Protein	NM_172361 NM_172350	Hs.510402
23		Chondroitin polymerisierender Faktor	NM_024536	Hs.516711
		Kohlenhydrat (Chondroitin 6) Sulfotrans-	NIM 004072	Hs.158304
24		ferase 3	NM_004273	Hs.436847
25		Chlorid-Kanal 2	NM_004366	
26		Chlorid-Kanal 4	NM_001830	Hs.495674
27	CLIC5	Chlorid intrazellulärer Kanal 5 CCR4-NOT Transkriptionskomplex, Unter-	NM_016929	Hs.485489
28	CNOT2	einheit 2	NM_014515	Hs.133350
	0.10.12	COP9 konstitutive photomorphogene ho-		
29	COPS6	mologe Untereinheit 6 (Arabidopsis)	NM_006833	Hs.15591
			NM_001014448	
	0.07	O-hammantidaes 7	NM_001014447 NM_003652	Hs.78068
30	CPZ	Carboxypeptidase Z		
31	CSK	C-src Tyrosinkinase	NM_004383	Hs.77793
		CTD (Carboxy-terminale Domäne, RNA Polymerase II, Polypeptide A) Phosphatase,	NM 004715	
32	CTDP1	Untereinheit 1	NM 048368	Hs.465490
32	OIDF I	Entwicklung and Differenzierung ver-		1
33	DDEF2	stärkender Faktor 2	NM_003887	Hs.555902
	DKFZ-		NM_015430	
34	P586H2123	Regenerations-assoziierte Muskelprotease	NM_001001991	Hs.55044
35	DLG2	Scheiben, großes Homolog 2, Chapsyn-110 (Drosophila)	NM 001364	Hs.654862
	10202	Dolichyl-Phosphat (UDP-N-Acetylglucosa-		
		min) N-Acetylglucosaminphosphotransfera-	NM_001382	
36	DPAGT1	se 1 (GlcNAc-1-P Transferase)	NM_203316	Hs.524081
			NM_004414	
			NM_203418	He agaage
37		Down Syndrom kritische Region Gen 1	NM_203417	Hs.282326
38	DUSP8	Dual-spezifische Phosphatase 8	NM_004420	Hs.41688



	_	_	
	1	Λ	
_		11	_

			NM_004879	1
39	El24	Etoposid-induzierte 2.4 mRNA	NM_001007277	Hs.643514
40	ENOSF1	Enolase Überfamilie Mitglied 1	NM_017512	Hs.369762
41	ERCC1	Excision-Repair kreuz-komplementierende Nager Repair-Deficiency Komplementier- ungsgruppe 1 (schließt überlappende Antis- ense-Sequenz ein)	NM_202001 NM_001983	Hs.435981
42	ERCC3	Excision Repair kreuz-komplementierende Nager Repair-Deficiency, Komplementier- ungsgruppe 3 (Xeroderma pigmentosum Gruppe B komplementierend) Verstärker von rudimentärem Homolog	NM_000122	Hs.469872
43	ERH	(Drosophila)	NM_004450	Hs.509791
44	F13A1	Koagulationsfaktor XIII, A1 Polypeptid	NM_000129	Hs.335513
45	FAM20B	Familie mit Sequenz-Ähnlichkeit 20, Mit- glied B	NM_014864	Hs.5737
46	FBP1	Fructose-1,6-bisphosphatase 1	NM_000507	Hs.494496
47	FCGR2A	Fc Fragment von IgG, niedrige Affinität IIa, Rezeptor (CD32)	NM_021642	Hs.352642
48	FGF13	Fibroblast-Wachstumsfaktor 13	NM_004114 NM_033642	Hs.6540
			NM_007045	11- 407475
49	FGFR10P	FGFR1 Onkogen-Partner Filamin C, gamma (Actin Bindungsprotein	NM_194429	Hs.487175
50	FLNC	280)	NM_001458	Hs.58414
51	FMO5	Flavin enthaltende Monooxygenase 5	NM_001461	Hs.642706
52	FRY	Furry Homolog (Drosophila)	NM_023037	Hs.591225
53	GADD45G	Wachstumsarrest und DNA-schädigungsin- duzierbar, gamma	NM 006705	Hs.9701
54		GTP Cyclohydrolase 1 (Dopa-responsive Dystonie)	NM_000161 NM_001024024 NM_001024070 NM_001024071	Hs.86724
55	GFRA1	GDNF Familie Rezeptor alpha 1	NM_005264 NM_145793	Hs.591913
	GLB1	Galactosidase, beta 1	NM_001039770 NM_000404 NM_001079811	Hs.443031
57	GOLGA8A	Golgi Autoantigen, Golgin Unterfamilie a, 8A	NM_181077 NM_001023567	Hs.182982
		Hämatopoietisches Zell-spezifisches Lyn-		
58	HCLS1	Substrat 1 Hepatom-abgeleiteter Wachstumsfaktor	NM_005335	Hs.14601
59	HDGF	(High-Mobility-Group Protein 1-ähnlich)	NM_004494	Hs.506748
60	HRC	Histidin-reiches Calcium-Bindungsprotein Isoprenylcystein Carboxyl-Methyltransfera-	NM_002152	Hs.436885
61	ICMT	se	NM_012405	Hs.562083
62	IFNA5	Interferon, alpha 5	NM_002169	Hs.37113
63		Insulin-ähnlicher Wachstumsfaktor 2 mRNA Bindungsprotein 3	NM_006547	Hs.648088
		Interleukin 12A (natürlicher Killerzellen stim- ulierender Faktor 1, zytotoxischer		
64	IL12A	Lymphozyten Reifungsfaktor 1, p35)	NM_000882	Hs.673
65	ITIH2	Inter-alpha (Globulin) Inhibitor H2	NM_002216	Hs.75285
66	ITPKC	Inositol 1,4,5-Trisphosphat 3-Kinase C	NM_025194	Hs.515415
67	JMJD2A	Jumonji Domäne enthaltend 2A	NM_014663	Hs.155983
	·			





- 11 -

Einwärts gleichrichtender Kalliumkanal Unterfamilie J, Mitglied 15 Kalumkanal Tetramerisationsdomäne enthaltend 12 KCTD12 Kalumkanal Tetramerisationsdomäne enthaltend 12 KCTD13 Kalumkanal Tetramerisationsdomäne enthaltend 12 KIAA0652 KIAA0652 KIAA0652 KIAA0652 KIAA0652 KIAA0653 NM 014741 Hs.410092 Hs.65135				NM 170736	1
68 KCN115 terfamilie J, Mitglied 15 NM, 170737 Hs.411299 69 KCTD12 Kaliumkanal Tetramerisationsdomäne enthaltend 12 NM 138444 Hs.693617 70 KIAA0652 NM 015037 Hs.65135 71 KIAA0913 KIAA0913 NM 015037 Hs.65135 72 KIKBI Kallikrein B, Plasma (Fletcher-Faktor) 1 NM 000892 Hs.64885 73 KRT37 Keratin 37 NM 003770 Hs.673852 74 LAMB3 Laminin, beta 3 NM 000228 Hs.694758 75 LPHN3 Latrophilin 3 NM 015236 Hs.694558 75 LRIGG1 All Marchal All Liporphilin 3 NM 015245 NM 015245			Einwärts gleichrichtender Kaliumkanal Un-		
Fig.	68	KCNJ15	terfamilie J, Mitglied 15	NM_170737	Hs.411299
Till	69	KCTD12		NM_138444	Hs.693617
T2 KLKB1 Kallikrein B, Plasma (Fletcher-Faktor) 1 NM 000892 Hs.646885	70	KIAA0652	KIAA0652	NM_014741	Hs.410092
T3 KRT37 Keratin 37 NM_003770 Hs.673852	71	KIAA0913	KIAA0913	NM_015037	Hs.65135
Table Tabl	72	KLKB1	Kallikrein B, Plasma (Fletcher-Faktor) 1	NM_000892	Hs.646885
Table Tabl	73	KRT37	Keratin 37		Hs.673852
Tell	74	I AMR3	Laminin heta 3		Hs 497636
Lexin-reiche Wiederholungen und Immunoglobulin-Ahnliche Domänen 1			Lammi, beta o		Hs.694758
Tell	75	LPHN3		NM_015236	Hs.649524
NM	76	LRIG1	oglobulin-ähnliche Domänen 1	NM_015541	Hs.518055
78 MANBA Mannosidase, beta A, lysosomal NM_005908 Hs.480415 79 MAP7 Mikrotubulus-assoziiertes Protein 7 NM_003980 Hs.486548 80 MAPKAPKS Mitogen-aktivierte Proteinkinase - Mitogen-aktivierte Proteinkinase 5 NM_139078 Hs.413901 81 MET Met Proto-Onkogen (Hepatozyten Wachsturnsfaktor Rezeptor) NM_003688 Hs.413901 81 MET sturnsfaktor Rezeptor) NM_000245 Hs.132966 82 MMP14 sertiert) NM_000245 Hs.132966 82 MMP14 sertiert) NM_004995 Hs.2399 83 MX1 terferon-induzierbares Protein p78 (Maus) NM_002462 Hs.517307 84 MYL9 Myosin, leichte Kette 9, regulatorisch NM_006097 NM_006097 85 MYO9B Myosin IXB NM_004145 Hs.504687 86 NCOR1 Nuklearer Rezeptor Co-Repressor 1 NM_006311 Hs.462323 87 NDRG4 NDRG Familie Mitglied 4 NM_006311 Hs.322430 80 NEUROD2 N	77	LCD	Lipolyse-stimulierender Lipoprotein-Rezep-	NM_015925	11- 400507
Type				_	
MAPKAPK5	78		Mannosidase, beta A, lysosomal	NM_005908	Hs.480415
MAPKAPK5	79	MAP7			Hs.486548
MET Sturnsfaktor Rezeptor) NM_000245 Hs.132966	80	MAPKAPK5			Hs.413901
MMP14 Sertiert)	81	MET	stumsfaktor Rezeptor)	NM_000245	Hs.132966
Myxovirus (Influenza-Virus) Resistenz 1, Interferon-induzierbares Protein p78 (Maus)	82	MMP14		NM 004995	Hs.2399
84 MYL9 Myosin, leichte Kette 9, regulatorisch NM_006097 NM_181526 Hs.504687 85 MYO9B Myosin IXB NM_004145 Hs.123198 86 NCOR1 Nuklearer Rezeptor Co-Repressor 1 NM_006311 Hs.462323 87 NDRG4 NDRG Familie Mitglied 4 NM_022910 Hs.322430 88 NDUFA5 Subkomplex, 5, 13kDa NM_005000 Hs.651219 89 NEUROD2 Neurogene Differenzierung 2 NM_006160 Hs.322431 89 NEUROD2 Neurogene Differenzierung 2 NM_001077494 NM_001077494 90 NFKB2 (p49/p100) NM_001077493 NM_002502 Hs.73090 91 NME6 micht-metastatische Zellen 6, Protein exprimiert in (Nucleoside-Diphosphat-Kinase) NM_005793 Hs.465558 92 NPY1R Neuropeptid Y Rezeptor Y1 NM_0007172 NM_007172 93 NUP50 Nucleoporin 50kDa NM_007172 NM_007172 94 PDGFRA Rezeptor, alpha Polypeptid NM_003477 Hs.47615 95 PDHX <td></td> <td></td> <td>Myxovirus (Influenza-Virus) Resistenz 1, In-</td> <td></td> <td></td>			Myxovirus (Influenza-Virus) Resistenz 1, In-		
84 MYL9 Myosin, leichte Kette 9, regulatorisch NM_181526 Hs.504687 85 MYO9B Myosin IXB NM_004145 Hs.123198 86 NCOR1 Nuklearer Rezeptor Co-Repressor 1 NM_006311 Hs.462323 87 NDRG4 NDRG Familie Mitglied 4 NM_020465 NM_0022910 Hs.322430 88 NDUFA5 Subkomplex, 5, 13kDa NM_005000 Hs.651219 89 NEUROD2 Neurogene Differenzierung 2 NM_006160 Hs.322431 NM_0081077494 NM_001077494 NM_001077494 NM_001077493 NM_001077493 NM_002502 Hs.73090 91 NME6 Nicht-metastatische Zellen 6, Protein exprimiert in (Nucleoside-Diphosphat-Kinase) NM_005793 Hs.465558 92 NPY1R Neuropeptid Y Rezeptor Y1 NM_000909 Hs.519057 93 NUP50 Nucleoporin 50kDa NM_153645 Hs.475103 94 PDGFRA Rezeptor, alpha Polypeptid NM_006206 Hs.74615 95 PDHX standteil X NM_006206 Hs.502315 96 PDLIM1 PDZ und LIM Domäne 1 (elfin) NM_000466 Hs.368525 97 PEX1<	83	MX1	terferon-induzierbares Protein p78 (Maus)		Hs.517307
86 NCOR1 Nuklearer Rezeptor Co-Repressor 1 NM 006311 Hs.462323 87 NDRG4 NDRG Familie Mitglied 4 NM 022910 Hs.322430 88 NDUFA5 NADH Dehydrogenase (Ubiquinon) 1 alpha Subkomplex, 5, 13kDa NM 005000 Hs.651219 89 NEUROD2 Neurogene Differenzierung 2 NM 006160 Hs.322431 Nuklearer Faktor von kappa leichtem Polypeptid Gene-Verstärker in B-Zellen 2 (p49/p100) NM 001077494 NM 001077493 NM 002502 Hs.73090 90 NFKB2 (p49/p100) Nicht-metastatische Zellen 6, Protein exprimiert in (Nucleoside-Diphosphat-Kinase) NM 005793 Hs.465558 92 NPY1R Neuropeptid Y Rezeptor Y1 NM 000909 Hs.519057 93 NUP50 Nucleoporin 50kDa NM 153645 Hs.475103 94 PDGFRA Rezeptor, alpha Polypeptid NM 006206 Hs.74615 95 PDHX standteil X NM 003477 Hs.502315 96 PDLIM1 PDZ und LIM Domäne 1 (elfin) NM 002092 Hs.368525 97 PEX1 Peroxisom-Biogenese-Faktor 13 NM 002618 Hs.567316	84	MYL9	Myosin, leichte Kette 9, regulatorisch		Hs.504687
NDRG4 NDRG Familie Mitglied 4 NM_022910 Hs.322430	85	MYO9B	Myosin IXB	NM_004145	Hs.123198
87 NDRG4 NDRG Familie Mitglied 4 NM_022910 Hs.322430 88 NDUFA5 NADH Dehydrogenase (Ubiquinon) 1 alpha Subkomplex, 5, 13kDa NM_005000 Hs.651219 89 NEUROD2 Neurogene Differenzierung 2 NM_006160 Hs.322431 Nuklearer Faktor von kappa leichtem Polypeptid Gene-Verstärker in B-Zellen 2 (p49/p100) NM_001077494 NM_001077493 NM_001077493 NM_002502 Hs.73090 91 NME6 Nicht-metastatische Zellen 6, Protein exprimiert in (Nucleoside-Diphosphat-Kinase) NM_005793 Hs.465558 92 NPY1R Neuropeptid Y Rezeptor Y1 NM_000909 Hs.519057 93 NUP50 Nucleoporin 50kDa NM_153645 Hs.475103 94 PDGFRA Rezeptor, alpha Polypeptid NM_006206 Hs.74615 95 PDHX standteil X NM_003477 Hs.502315 96 PDLIM1 PDZ und LIM Domäne 1 (elfin) NM_000466 Hs.368525 97 PEX1 Peroxisom-Biogenese-Faktor 1 NM_002618 Hs.567316 Phosphatidylinositol (4,5) Bisphosphat 5- NM_014422 NM_014422	86	NCOR1	Nuklearer Rezeptor Co-Repressor 1		Hs.462323
NADH Dehydrogenase (Ubiquinon) 1 alpha Subkomplex, 5, 13kDa NM 005000 Hs.651219	87	NDRG4	NDRG Familie Mitglied 4		He 322430
NEUROD2 Neurogene Differenzierung 2 NM 006160 Hs.322431			NADH Dehydrogenase (Ubiquinon) 1 alpha		
Nuklearer Faktor von kappa leichtem Polypeptid Gene-Verstärker in B-Zellen 2 (p49/p100)	88	NDUFA5	Subkomplex, 5, 13kDa	NM_005000	Hs.651219
peptid Gene-Verstärker in B-Zellen 2	89	NEUROD2			Hs.322431
90 NFKB2 (p49/p100) Nicht-metastatische Zellen 6, Protein exprimiert in (Nucleoside-Diphosphat-Kinase) NM_005793 Hs.465558 92 NPY1R Neuropeptid Y Rezeptor Y1 NM_000909 Hs.519057 93 NUP50 Nucleoporin 50kDa NM_153645 Hs.475103 Plättchen-abgeleiteter Wachstumsfaktor Rezeptor, alpha Polypeptid NM_006206 Hs.74615 Pyruvat-Dehydrogenase-Komplex, Bestandteil X NM_003477 Hs.502315 96 PDLIM1 PDZ und LIM Domäne 1 (elfin) NM_000466 Hs.164682 98 PEX13 Peroxisom-Biogenese-Faktor 13 NM_002618 Hs.567316 Phosphatidylinositol (4,5) Bisphosphat 5- NM_014422					
91 NME6 miert in (Nucleoside-Diphosphat-Kinase) NM_0005793 Hs.465558 92 NPY1R Neuropeptid Y Rezeptor Y1 NM_000909 Hs.519057 93 NUP50 Nucleoporin 50kDa NM_153645 Hs.475103 94 PDGFRA Plättchen-abgeleiteter Wachstumsfaktor Rezeptor, alpha Polypeptid NM_006206 Hs.74615 95 PDHX standteil X NM_003477 Hs.502315 96 PDLIM1 PDZ und LIM Domäne 1 (elfin) NM_020992 Hs.368525 97 PEX1 Peroxisom-Biogenese-Faktor 1 NM_000466 Hs.164682 98 PEX13 Peroxisom-Biogenese-Faktor 13 NM_002618 Hs.567316 Phosphatidylinositol (4,5) Bisphosphat 5- NM_014422 NM_014422	90	NFKB2	(p49/p100)		Hs.73090
93 NUP50 Nucleoporin 50kDa NM_007172 NM_153645 Hs.475103 94 PDGFRA Plättchen-abgeleiteter Wachstumsfaktor Rezeptor, alpha Polypeptid NM_006206 Hs.74615 95 PDHX standteil X NM_003477 Hs.502315 96 PDLIM1 PDZ und LIM Domäne 1 (elfin) NM_020992 Hs.368525 97 PEX1 Peroxisom-Biogenese-Faktor 1 NM_000466 Hs.164682 98 PEX13 Peroxisom-Biogenese-Faktor 13 NM_002618 Hs.567316 Phosphatidylinositol (4,5) Bisphosphat 5- NM_014422 NM_014422	91	NME6		NM_005793	Hs.465558
93 NUP50 Nucleoporin 50kDa NM_153645 Hs.475103 94 PDGFRA Plättchen-abgeleiteter Wachstumsfaktor Rezeptor, alpha Polypeptid NM_006206 Hs.74615 95 PDHX Pyruvat-Dehydrogenase-Komplex, Bestandteil X NM_003477 Hs.502315 96 PDLIM1 PDZ und LIM Domäne 1 (elfin) NM_020992 Hs.368525 97 PEX1 Peroxisom-Biogenese-Faktor 1 NM_000466 Hs.164682 98 PEX13 Peroxisom-Biogenese-Faktor 13 NM_002618 Hs.567316 Phosphatidylinositol (4,5) Bisphosphat 5- NM_014422 NM_014422	92	NPY1R	Neuropeptid Y Rezeptor Y1	NM_000909	Hs.519057
PDGFRA PDGFRA Rezeptor, alpha Polypeptid NM_006206 Hs.74615 Pyruvat-Dehydrogenase-Komplex, Bestandteil X NM_003477 Hs.502315 PDLIM1 PDZ und LIM Domäne 1 (elfin) NM_020992 Hs.368525 PEX1 Peroxisom-Biogenese-Faktor 1 NM_000466 Hs.164682 PEX13 Peroxisom-Biogenese-Faktor 13 NM_002618 Hs.567316 Phosphatidylinositol (4,5) Bisphosphat 5- NM_014422	02	NUDEO	Nucleon arin FOLDs		Up 475402
94 PDGFRA Rezeptor, alpha Polypeptid NM_006206 Hs.74615 95 PDHX Pyruvat-Dehydrogenase-Komplex, Bestandteil X NM_003477 Hs.502315 96 PDLIM1 PDZ und LIM Domäne 1 (elfin) NM_020992 Hs.368525 97 PEX1 Peroxisom-Biogenese-Faktor 1 NM_000466 Hs.164682 98 PEX13 Peroxisom-Biogenese-Faktor 13 NM_002618 Hs.567316 Phosphatidylinositol (4,5) Bisphosphat 5- NM_014422	95	NUPOU	Plättchen-abgeleiteter Wachstumsfaktor	10045	HS.475103
95 PDHX standteil X NM_003477 Hs.502315 96 PDLIM1 PDZ und LIM Domäne 1 (elfin) NM_020992 Hs.368525 97 PEX1 Peroxisom-Biogenese-Faktor 1 NM_000466 Hs.164682 98 PEX13 Peroxisom-Biogenese-Faktor 13 NM_002618 Hs.567316 Phosphatidylinositol (4,5) Bisphosphat 5- NM_014422 NM_014422	94	PDGFRA	Rezeptor, alpha Polypeptid	NM_006206	Hs.74615
97 PEX1 Peroxisom-Biogenese-Faktor 1 NM_000466 Hs.164682 98 PEX13 Peroxisom-Biogenese-Faktor 13 NM_002618 Hs.567316 Phosphatidylinositol (4,5) Bisphosphat 5- NM_014422	95	PDHX		NM_003477	Hs.502315
98 PEX13 Peroxisom-Biogenese-Faktor 13 NM_002618 Hs.567316 Phosphatidylinositol (4,5) Bisphosphat 5- NM_014422	96	PDLIM1	PDZ und LIM Domäne 1 (elfin)	NM_020992	Hs.368525
Phosphatidylinositol (4,5) Bisphosphat 5- NM_014422	97	PEX1	Peroxisom-Biogenese-Faktor 1	NM_000466	Hs.164682
Phosphatidylinositol (4,5) Bisphosphat 5- NM_014422	98	PEX13		NM_002618	Hs.567316
			Phosphatidylinositol (4,5) Bisphosphat 5-	NM_014422	



 1	2	_

	1		NM 012407	1
			NM 001039583	
100	PICK1	Protein interagierend mit PRKCA 1	NM_001039584	Hs.180871
			NM_201380	
			NM_201384	
			NM_000445	
	•		NM_201379	
			NM_201383	
		District A. Zwisskanfilessant District annual annual	NM_201382	
101	PLEC1	Plectin 1, Zwischenfilament Bindungsprote- in 500kDa	NM_201381 NM_201378	Hs.434248
101	PLECI	Polymerase (DNA-dirigiert), Epsilon 2 (p59	14141_201370	113.434240
102	POLE2	Untereinheit)	NM 002692	Hs.162777
	1 OLLE	Polymerase (DNA-dirigiert), Epsilon 3 (p17	11111_002002	110:102111
103	POLE3	Untereinheit)	NM 017443	Hs.108112
104	PPIF	Peptidylprolyl-Isomerase F (Cyclophilin F)	NM_005729	Hs.381072
105	DDDDDEA	Protein-Phosphatase 2, regulatorische Untereinheit B', alpha Isoform	NM 006243	Hs.497684
105	PPP2R5A	Pleckstrin Homologie, Sec7 und Coiled-Coil	NM 017457	115.437004
106	PSCD2	Domänen 2 (Cytohesin-2)	NM 004228	Hs.144011
100	TOODZ	Proteasom (Prosom, Makropain) Unterein-	7411 00 1220	110.711011
107	PSMA5	heit, alpha Typ, 5	NM 002790	Hs.485246
		Protein Tyrosin Phosphatase, Nicht-Rezep-	· · · · · · · · · · · · · · · · ·	
108	PTPN12	tor Typ 12	NM_002835	Hs.61812
		Protein Tyrosin Phosphatase, Nicht-Rezep-		
109	PTPN3	tor Typ 3	NM_002829	Hs.436429
		Protein Tyrosin Phosphatase, Rezeptor		455075
110	PTPRCAP	Typ, C-assoziiertes Protein	NM_005608	Hs.155975
			NM_206855 NM_206854	
		Quaking Homolog, KH Domäne RNA-bind-	NM_206853	
111	QKI	end (Maus)	NM_006775	Hs.510324
	GIVI	end (Mads)	NM 170692	110.010021
112	RASAL2	RAS Protein Aktivator ähnlich 2	NM 004841	Hs.656823
		Ras Assoziierungs (RalGDS/AF-6) Domä-		
113	RASSF7	nen-Familie 7	NM_003475	Hs.72925
			NM_005676	
114	RBM10	RNA-bindendes Motiv Protein 10	NM_152856	Hs.401509
44-		D. A. I. D. A. I. D.	NM_017495	U- 000004
115	RBM38	RNA-bindendes Motiv Protein 38	NM_183425	Hs.236361
116	RER1	RER1 Retention in endoplasmischem Reticulum 1 Homolog (S. cerevisiae)	NM_007033	Hs.525527
110	IVEIVI	Ral Guanin Nukleotid Dissoziierungsstimu-	14101_007.000	113.020027
117	RGL2	lator-ähnlich 2	NM_004761	Hs.509622
	1	Ras Homolog Gen Familie, Mitglied G (rho		
118	RHOG	G)	NM_001665	Hs.501728
			NM_198235	
			NM_198234	
		Ribonuklease, RNase A Familie, 1	NM_198232	
119	RNASE1	(pankreatisch)	NM_002933	Hs.78224
			NM_020532	
			NM_207521	
			NM_207520 NM 153828	
120	RTN4	Retikulon 4	NM_007008	Hs.645283
121	RYR2	Ryanodin Rezeptor 2 (Herz)	NM_001035	Hs.109514
122	SCC-112	SCC-112 Protein	NM_015200	Hs.331431
123	SDS	Serin-Dehydratase	NM_006843	Hs.654416
124	SF3B2	Spleißfaktor 3b, Untereinheit 2, 145kDa	NM_006842	Hs.406423



_	1	3	_

125	SH3PXD2A	SH3 und PX Domänen 2A	NM 014631	Hs.594708
125	SHISFADZA	Sine oculis Homeobox Homolog 6	14031	115.554700
126	SIX6	(Drosophila)	NM 007374	Hs.194756
		Solute Carrier Familie 10 (Natrium/Gal-		
		lensäure Co-Transporter Familie), Mitglied		
127	SLC10A1	1	NM_003049	Hs.952
400		Solute Carrier Familie 6 (Neurotransmitter		
128	SLC6A8	Transporter, Creatin), Mitglied 8	NM_005629	Hs.540696
129	SMG6	Smg-6 Homolog, nonsense vermittelter mRNA Zerfallsfaktor (C. elegans)	NM 017575	Hs.448342
129	SIVIGO	Kleines nukleares Ribonukleoprotein Poly-	NM 003092	П5.440342
130	SNRPB2	peptid B"	NM_198220	Hs.280378
100	OIVIN DZ	SRY (Geschlecht bestimmende Region Y)-	14141_130220	113.200070
131	SOX11	Box 11	NM 003108	Hs.432638
	COXII	Milz Fokus bildendes Virus (SFFV) provirale	NM 001080547	1.00200
132	SPI1	Integration Onkogen spi1	NM_003120	Hs.502511
		SLIT-ROBO Rho GTPase aktivierendes	NM 014850	
133	SRGAP3	Protein 3	NM_001033117	Hs.654743
134	STX12	Syntaxin 12	NM_177424	Hs.523855
135	SYK	Milz Tyrosinkinase	NM 003177	Hs.371720
	OTIX	TAF4 RNA Polymerase II, TATA Box	1444_000177	110.07 1720
		Bindungsprotein (TBP)-assoziierter Faktor,		
136	TAF4	135kDa	NM_003185	Hs.18857
137	TCN2	Transcobalamin II	NM_000355	Hs.417948
138	TGOLN2	Trans-golgi Netzwerk-Protein 2	NM 006464	Hs.593382
	1002.12	TIA1 cytotoxisches Granalien-assoziiertes	NM 022173	
139	TIA1	RNA Bindungsprotein	NM 022037	Hs.516075
		Translokase von äußerer mitochondrialer		
140	TOMM40	Membran 40 Homolog (Hefe)	NM_006114	Hs.655909
141	TXN2	Thioredoxin 2	NM_012473	Hs.211929
142	UGCG	UDP-Glucose Ceramid Glucosyltransferase	NM_003358	Hs.304249
143	USP11	Ubiquitin spezifische Peptidase 11	NM 004651	Hs.171501
		Vitamin D (1,25- Dihydroxyvitamin D3)	NM_001017535	
144	VDR	Rezeptor	NM_000376	Hs.524368
		Vaskulärer endothelialer Wachstumsfaktor		
145	VEGFC	C	NM_005429	Hs.435215
		Tyrosin 3-Monooxygenase/Tryptophan 5-	!	
4.4-		Monooxygenase Aktivierungsprotein, theta		1.1. 74405
146	YWHAQ	Polypeptid	NM_006826	Hs.74405
147	ZNF140	Zinkfinger-Protein 140	NM_003440	Hs.181552

Tabelle 5: PTC Markerset PIV-1 bis PIV-9

Num- mer				
PIV-	Markergen	Beschreibung des Gens	Eingangsnummer	UniGeneID
		Wiskott-Aldrich Syndrom (Ekzema-		
1	WAS	Thrombozytopenie)	BC012738	Hs.2157
		niedrigdichtes Lipoprotein Rezeptor-		
2	LRP4	bezogenes Protein 4	BM802977	Hs.4930
3	TFF3	Trefoil Faktor 3 (intestinal)	BC017859	Hs.82961
		ST3 beta-Galactosid alpha-2,3-Sialyl-		
4	ST3GAL6	transferase 6	BC023312	Hs.148716
		Serin-Threoninkinase 39		
5	STK39	(STE20/SPS1 Homolog, Hefe)	BM455533	Hs.276271

- 14 -

6	DPP4	Dipeptidyl-Peptidase 4 (CD26, Adenosin Deaminase komplexierendes Protein 2)	BC065265	Hs.368912
7	CHI3L1	Chitinase 3-ähnlich 1 (Cartilage Glycoprotein-39)	BC038354	Hs.382202
8	FABP4	Fettsäure Bindungsprotein 4, Adipozyt	BC003672	Hs.391561
9	LAMB3	Laminin, beta 3	BC075838	Hs.497636

Tabelle 6: PTC Markerset PV-1 bis PV-11

Num-				
mer PV-	Markergen	Beschreibung des Gens	Eingangsnummer	UniGeneID
1	GPR4	G Protein-gekoppelter Rezeptor 4	BC067535	Hs.17170
2	STAM2	Signal transduzierendes Adaptor- Molekül (SH3 Domäne und ITAM Motiv) 2	BC028740	Hs.17200
3		Glutaminyl-Peptid Cyclotransferase (Glutaminyl-Cyclase)	BC047756	Hs.79033
4	CDK7	Cyclin-abhängige Kinase 7 (MO15 Homolog, Xenopus laevis, cdk-aktivierende Kinase)	BC000834	Hs.184298
5	SFTPD	Surfactant, pulmonal-assoziiertes Protein D	BC022318	Hs.253495
6	CYB5R1	Cytochrome b5 Reduktase 1	BC018732	Hs.334832
7	VWF	Von Willebrand Faktor	BI490763	Hs.440848
8	VWF	Von Willebrand Faktor	BQ888783	Hs.440848
9	1 = 1 22 1	Pyruvat Dehydrogenase Komplex, Bestandteil X	BC010389	Hs.502315
	HOXA4	Homeobox A4	BM996071	Hs.654466
11	HOXA4	Homeobox A4	BI521357	Hs.654466

Das Set der Erfindung kann verwendet werden, um Krebs oder Tumorzellen nachzuweisen, insbesondere Schilddrüsenkrebs, und sogar, um gutartige Schilddrüsenknötchen von bösartigem follikulärem Schilddrüsenkarzinom (FTC) und papillärem Schilddrüsenkarzinom (PTC) zu unterscheiden. In bevorzugten Ausführungsformen umfasst das Set Komponenten, welche für mindestens 3 Tumormarker spezifisch sind, ausgewählt aus den Tumormarkern PI-1 bis PI-33, PII-1 bis PII-64, PIII-1 bis PIII-70 und PIV-1 bis PIV-9, vorzugsweise PIV-4 oder PIV-5, und PV-1 bis PV-11, vorzugsweise PV-1, PV-2 und PV-4 bis PV-11, insbesondere von den Tumormarkern PI-1 bis PI-33. Diese Marker sind für papilläres Schilddrüsenkarzinom (PCT) spezifisch und der diagnostizierte Schilddrüsenkrebs kann als PTC gekennzeichnet werden.

In einer ähnlichen bevorzugten Ausführungsform umfasst das Set Komponenten, welche für mindestens 3 Tumormarker spezifisch sind, ausgewählt aus den Tumormarkern FI-1 bis FI-147. Diese Marker sind für follikuläres Schilddrüsenkarzinom (FTC) spezifisch und der diagnostizierte Schilddrüsenkrebs kann als FTC ge-



- 15 -

kennzeichnet werden.

Besonders bevorzugt umfasst das Set eine Komponente, welche für den Tumormarker SERPINA1 (Serin (oder Cystein) Protease-Inhibitor, Stamm A (alpha-1 Antiproteinase, Antitrypsin), Mitglied 1; NM_000295, NM_001002236, NM_001002235) spezifisch ist, welcher ein sehr wirkkräftiger Marker für PTC ist. Dieser Marker kann als einzelnes Mitglied des Sets PTC von gutartigen Zuständen unterscheiden.

Vorzugsweise umfasst das Set mindestens 5 oder mindestens 10, vorzugsweise mindestens 15, bevorzugter mindestens 20, besonders bevorzugt mindestens 25, insbesondere bevorzugt mindestens 30 Komponenten, welche für die Tumormarker von Tabelle 1 bis 6 oben spezifisch sind. Das Set kann ausgewählt werden aus Komponenten, welche für beliebige mindestens 3, 4, 5, 6, 7, 8, 9, 10, 11, 12, 13, 14, 15, 16, 17, 18, 19, 20, 25, 30, 33, 35, 40, 45, 50, 55, 60, 64, 65, 70, 75, 80, 85, 90, 95, 100, 110, 120, 130, 140, 145, 147, 150, 160, 170, 180, 190 oder 200 der obigen Tumormarker spezifisch sind, z.B. ausgewählt aus PI-1 bis PI-33, PII-1 bis PII-64, PIII-1 bis PIII-70, FI-1 bis FI-147, PIV-1 bis PIV-9, vorzugsweise PIV-4 oder PIV-5, und PV-1 bis PV-11, vorzugsweise PV-1, PV-2 und PV-4 bis PV-11, insbesondere von beliebigen von PI-1, PI-2, PI-3, PI-4, PI-5, PI-6, PI-7, PI-8, PI-9, PI-10, PI-11, PI-12, PI-13, PI-14, PI-15, PI-16, PI-17, PI-18, PI-19, PI-20, PI-21, PI-22, PI-23, PI-24, PI-25, PI-26, PI-27, PI-28, PI-29, PI-30, PI-31, PI-32, PI-33, PII-1, PII-2, PII-3, PII-4, PII-5, PII-6, PII-7, PII-8, PII-9, PII-10, PII-11, PII-12, PII-13, PII-14, PII-15, PII-16, PII-17, PII-18, PII-19, PII-20, PII-21, PII-22, PII-23, PII-24, PII-25, PII-26, PII-27, PII-28, PII-29, PII-30, PII-31, PII-32, PII-33, PII-34, PII-35, PII-36, PII-37, PII-38, PII-39, PII-40, PII-41, PII-42, PII-43, PII-44, PII-45, PII-46, PII-47, PII-48, PII-49, PII-50, PII-51, PII-52, PII-53, PII-54, PII-55, PII-56, PII-57, PII-58, PII-59, PII-60, PII-61, PII-62, PII-63, PII-64, PIII-1, PIII-2, PIII-3, PIII-4, PIII-5, PIII-6, PIII-7, PIII-8, PIII-9, PIII-10, PIII-11, PIII-12, PIII-13, PIII-14, PIII-15, PIII-16, PIII-17, PIII-18, PIII-19, PIII-20, PIII-21, PIII-22, PIII-23, PIII-24, PIII-25, PIII-26, PIII-27, PIII-28, PIII-29, PIII-30, PIII-31, PIII-32, PIII-33, PIII-34, PIII-35, PIII-36, PIII-37, PIII-38, PIII-39, PIII-40, PIII-41, PIII-42, PIII-43, PIII-44, PIII-45,



- 16 -

PIII-46, PIII-47, PIII-48, PIII-49, PIII-50, PIII-51, PIII-52, PIII-53, PIII-54, PIII-55, PIII-56, PIII-57, PIII-58, PIII-59, PIII-60, PIII-61, PIII-62, PIII-63, PIII-64, PIII-65, PIII-66, PIII-67, PIII-68, PIII-69, PIII-70, FI-1, FI-2, FI-3, FI-4, FI-5, FI-6, FI-7, FI-8, FI-9, FI-10, FI-11, FI-12, FI-13, FI-14, FI-15, FI-16, FI-17, FI-18, FI-19, FI-20, FI-21, FI-22, FI-23, FI-24, FI-25, FI-26, FI-27, FI-28, FI-29, FI-30, FI-31, FI-32, FI-33, FI-34, FI-35, FI-36, FI-37, FI-38, FI-39, FI-40, FI-41, FI-42, FI-43, FI-44, FI-45, FI-46, FI-47, FI-48, FI-49, FI-50, FI-51, FI-52, FI-53, FI-54, FI-55, FI-56, FI-57, FI-58, FI-59, FI-60, FI-61, FI-62, FI-63, FI-64, FI-65, FI-66, FI-67, FI-68, FI-69, FI-70, FI-71, FI-72, FI-73, FI-74, FI-75, FI-76, FI-77, FI-78, FI-79, FI-80, FI-81, FI-82, FI-83, FI-84, FI-85, FI-86, FI-87, FI-88, FI-89, FI-90, FI-91, FI-92, FI-93, FI-94, FI-95, FI-96, FI-97, FI-98, FI-99, FI-100, FI-101, FI-102, FI-103, FI-104, FI-105, FI-106, FI-107, FI-108, FI-109, FI-110, FI-111, 112, FI-113, FI-114, FI-115, FI-116, FI-117, FI-118, FI-119, FI-120, FI-121, FI-122, FI-123, FI-124, FI-125, FI-126, FI-127, FI-128, FI-129, FI-130, FI-131, FI-132, FI-133, FI-134, FI-135, FI-136, FI-137, FI-138, FI-139, FI-140, FI-141, FI-142, FI-143, FI-144, FI-145, FI-146, FI-147, PIV-1, PIV-2, PIV-3, PIV-4, PIV-5, PIV-6, PIV-7, PIV-8, PIV-9, PV-1, PV-2, PV-3, PV-4, PV-5, PV-6, PV-7, PV-8, PV-9, PV-10, PV-11. Vorzugsweise ist das Set spezifisch für ein vollständiges Subset, ausgewählt aus PI, PII, PIII, PIV, PV oder FI. Jedoch ist es ebenfalls möglich, eine kleine Anzahl aus diesen Subsets oder vereinigtem Set auszuwählen, da eine Unterscheidung zwischen gutartigen und bösartigen Zuständen oder die Diagnose von Krebs auch mit annehmbarer Sicherheit durchgeführt werden kann. Zum Beispiel umfasst in einer bevorzugten Ausführungsform das Set der Erfindung mindestens 5 (oder eine der oben erwähnten Anzahlen) Komponenten, welche für die Tumormarker spezifisch sind, ausgewählt aus FI-1 bis FI-147. Figuren 4 und 5 zeigen solche diagnostischen Klassifizierungswahrscheinlichkeiten für PTC und FTC. Zum Beispiel hat ein Set, spezifisch für eine Anzahl von Markern aus Tabelle 2 (Subset PII), spezifisch für 5 Marker, nur eine Fehlerspanne von 4%, also 96% aller Fälle würden korrekt klassifiziert. Ein Fehlerwert von 1% (99% Sicherheit) wird mit mindestens 20 Mitgliedern erreicht. Im Fall der FTC-spezifischen Marker wird ein stabiler

- 17 -

Wert von 8% Fehlern mit mindestens 11 unterschiedlichen Markern erreicht, ausgewählt aus dem FI Subset.

Vorzugsweise sind die Komponenten Nukleinsäuren, insbesondere Oligonukleotide oder Primer, welche für Tumormarker-Nukleinsäuren spezifisch sind. In einer weiteren Ausführungsform sind die Komponenten Antikörper (monoklonal oder polyklonal) oder Antikörperfragmente, vorzugsweise ausgewählt aus Fab, Fab', Fab₂, F(ab')₂ oder scFv (einkettige variable Fragmente), welche für Tumormarker-Proteine spezifisch sind.

In einer bevorzugten Ausführungsform sind die Komponenten des Sets auf einem festen Träger immobilisiert, vorzugsweise in Form eines Microarrays oder Nanoarrays. Der Begriff "Microarray", gleichermaßen "Nanoarray" wird verwendet, um eine Reihe einer mikroskopischen Anordnung (Nanoarray für eine Reihe im Nanometer-Maßstab) zu beschreiben oder betrifft einen Träger, der solch eine Reihe umfasst. Beide Definitionen wiedersprechen einander nicht und sind im Sinn der vorliegenden Erfindung anwendbar.

In einem weiteren Aspekt betrifft die vorliegende Erfindung ein Verfahren für den Nachweis von einem oder mehreren Schilddrüsenkrebs-Markern in einer Probe, umfassend Verwenden des Sets der Erfindung und Nachweisen der Anwesenheit oder Messen der Menge des Vorkommens von Tumormarkern in der Probe. Das Auftreten oder Muster der nachgewiesenen Marker kann spezifisch die Anwesenheit dieser Marker identifizieren, was für Krebsdiagnose oder als eine Referenz von gesunden Proben relevant, oder einfach eine genetische Erforschung von Objekten sein kann.

Vorzugsweise umfasst die Probe Zellen, vorzugsweise Säugerzellen, besonders bevorzugt menschliche Zellen, welche von einer Biopsie oder Körperflüssigkeit beschafft werden können. Insbesondere wird die Anwesenheit oder Menge der Tumormarker in diesen Zellen nach z.B. Zellzerfall nachgewiesen oder gemessen.

Das Verfahren kann einen Nachweis oder eine Messung durch RNA-Expressionsanalyse, vorzugsweise durch Microarray oder quantitative PCR oder Proteinanalyse, vorzugsweise durch Gewebe-Microarray-Nachweis, Protein-Microarray-Nachweis, mRNA-Microarray-Nachweis, ELISA, Multiplex-Tests, Immunhistochemie oder DNA-Analyse, komparative Genomhybridisierung (CGH)-Arrays oder Einzel-Nukleotid-Polymorphismus (SNP)-Analyse umfassen. Diese Verfahren

- 18 -

sind nach Stand der Technik bekannt und können als Beispiele für das weite Feld der genetischen Markeranalyse leicht für das Verfahren der vorliegenden Erfindung verwendet werden.

In einem weiteren Aspekt sieht die vorliegende Erfindung ein Verfahren für die Diagnose von Krebs in einem Patienten vor, umfassend Beschaffen einer Probe, vorzugsweise einer Probe von Zellen, von dem Patienten, Nachweisen von einem oder mehreren Tumormarkern durch Messen von Tumormarker-Signalen mit dem Set gemäß der vorliegenden Erfindung, Vergleichen der gemessenen Signalwerte der Tumormarker mit Werten der Tumormarker in gesunden Proben und Diagnostizieren von Krebs falls mehr als 50%, vorzugsweise mehr als 60%, bevorzugter mehr als 70%, insbesondere bevorzugt mehr als 80% der Werte sich verglichen mit den Werten der gesunden Proben durch mindestens die Standardabweichung, vorzugsweise zweimal die Standardabweichung, sogar bevorzugter dreimal die Standardabweichung des Messverfahrens unterscheiden. Der Unterschied in genetischer Expression zwischen Proben von erkrankten Objekten und gesunden Objekten kann von jeder Art sein und schließt Hochregulation (z.B. von Onkogenen) oder Herunterregulation (z.B. von Tumorsuppressorgenen) ein. Es ist möglich, dass in gesunden Proben ein Gen nicht exprimiert ist, während Expression in erkrankten Proben auftritt. Andererseits ist es ebenfalls möglich, dass ein Gen in erkrankten Proben nicht exprimiert ist, während Expression in gesunden Proben auftritt.

Krebs kann auch diagnostiziert werden, falls sich mehr als 50%, bevorzugt mehr als 60%, bevorzugter mehr als 70%, insbesondere bevorzugt mehr als 80% der Werte der Probe verglichen mit den Werten der gesunden Proben um mindestens einen Faktor 1,5, mindestens einen Faktor 2, mindestens einen Faktor 3 oder mindestens einen Faktor 4 unterscheiden. Üblicherweise werden die Tumormarker-Expressionsprodukte durch einen Faktor von 2 bis 6 hoch- oder herunterreguliert, aber Unterschiede um einen Faktor 60 sind ebenfalls möglich.

In noch einem weiteren Aspekt betrifft die Erfindung ein Verfahren für die Identifizierung von krankheitsspezifischen Markern, wie z.B. in Tabellen 1 bis 6 angegeben, vorzugsweise Genen oder Genexpressionsmustern, umfassend:

· Vorsehen von Genexpressionsdaten zu mehrfachen potentiellen

- 19 -

krankheitsspezifischen Genen von mindestens zwei unterschiedlichen Expressionsdatensätzen,

- · Bestimmen gemeinsamer Gene der Datensätze,
- Normalisieren von jedem Genexpressionsdatensatz, vorzugsweise durch Lowess- oder Quantil-Normalisierung,
- Vereinigen der Genexpressionsdatensätze zu einem vereinigten Datensatz und vorzugsweise Normalisieren des vereinigten Datensatzes und Integrieren des vereinigten Datensatzes,
- Bestimmen von Genen des vereinigten Datensatzes durch Bestimmen seines Nearest-Shrunken-Centroids, was die Bestimmung eines kreuzvalidierten Fehlerwerts von Zuweisen der Gene zur Krankheit und Minimieren des Fehlerwerts durch Verringern der Anzahl an Mitgliedern des vereinigten, vorzugsweise normalisierten Datensatzes einschließt,

wobei die Gene des verringerten Datensatzes die für die Krankheit spezifischen Marker sind. Die Kreuzvalidierung kann z.B. das Leave-One-Out Verfahren sein. Vorzugsweise umfasst der Bestimmungsschritt (der Klassifizierungsschritt) die Bestimmung eines maximierten Schwellenwerts des Unterschieds des normalisierten Expressionswerts für jedes Gen zum Zentroid-Wert durch die Kreuzvalidierung. Dann werden die Gene mit niedrigeren normalisierten Expressionswerten als der Schwellenwert aus dem verringerten (oder geschrumpften) Satz entfernt und Gene mit größeren Werten als der Schwellenwert zum Zentroid sind für die Krankheit spezifisch.

Der Bestimmungsschritt kann mehrere Male durch Auslassen der sich ergebenden Marker aus jedem vorhergehenden Schritt wiederholt werden. Das Nearest-Shrunken-Centroid Verfahren wird einen neuen Ergebnissatz von weiteren Markern ergeben, welche für die Krankheit spezifisch sind. Vorzugsweise wird der Bestimmungsschritt 2, 3, 4, 5, 6, 7, 8, 9, 10 oder mehr Male wiederholt. Je nach Größe des vereinigten Datensatzes wird er weitere spezifische Marker ergeben. Vorzugsweise wird für jedes Ergebnis eine Kreuzvalidierung durchgeführt. Die Bestimmung kann wiederholt werden, bis die Kreuzvalidierung einen Fehlerwert von z.B. unter 50%, 60%, 70% oder 80% anzeigt. Bei niedrigeren Werten kann erwartet werden, dass alle Marker identifiziert worden sind.

Die anfänglichen Genexpressionsdatensätze sind rohe Expressionsprofile, z.B. jeweils aus einer multi-genetischen Microar-

ray-Analyse erhalten. Von den meisten gemessenen Genen wird erwartet, dass sie nicht an der Krankheit beteiligt sind und das Verfahren der Erfindung kann kennzeichnende Markergene von mindestens zwei, vorzugsweise drei, vier, fünf, sechs, sieben oder acht Expressionsdatensätzen identifizieren. Daher umfassen die Expressionsdaten der anfänglichen Datensätze vorzugsweise Daten von mindestens zwei unterschiedlichen Microarray-Datensätzen, insbesondere mit studien- oder platformspezifischen Verzerrungen. Solche Verzerrungen können durch Verwenden von nur einem spezifischen Aufbau während der Messung der Expressionsdaten, z.B. eines Microarrays, auftreten, welcher sich von Aufbauten von anderen Datensätzen signifikant unterscheiden kann. Die vorliegende Erfindung hat den Vorteil, dass während der Vereinigung solcher Sätze die Probleme solcher Messungsverzerrungen überwunden werden. Ferner sind die erhaltenen (anfänglichen) Genexpressionsdaten rohe, unverarbeitete Genexpressionsdaten, also es wurde keine Verfeinerung oder Datenumwandlung vor dem Verfahren der Erfindung durchgeführt.

Vorzugsweise ist die Erkrankung eine genetische Störung, vorzugsweise eine Störung mit veränderter Genexpression, insbesondere bevorzugt Krebs. Andere Typen von Störungen mit veränderter Genexpression können z.B. pathogene Infektionen, insbesondere Virus-, einschließlich Retrovirusinfektionen, Strahlungsschaden und altersbezogene Störungen sein.

Der Schritt des Vereinigens und Integrierens des vereinigten Datensatzes entfernte studienspezifische Verzerrungen. In bevorzugten Ausführungsformen wird dieser Schritt durch schrittweise Vereinigung von zwei Genexpressionsdatensätzen pro Schritt und Integration des vereinigten Datensatzes, vorzugsweise durch DWD (Distance-Weighted-Discrimination) durchgeführt. Im Fall von 3 Datensätzen wird z.B. zuerst Satz 1 mit Satz 2 vereinigt und der verschmolzene Satz 1+2 wird mit Satz 3 vereinigt. Integration kann z.B. Berechnen des Normalenvektors des vereinigten Datensatzes und nachfolgend einer Hyperebene, welche Cluster (z.B. der anfänglichen Datensätze) von Datenwerten des Datensatzes trennt, und Subtrahieren der Datensatz-Mittelwerte wie im DWD-Verfahren einschließen. Im Prinzip kann jedes Datenintegrationsverfahren, welches Verzerrungen entfernt, für das Verfahren der Erfindung verwendet werden.

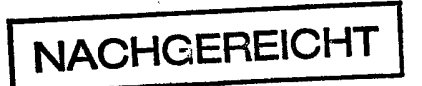


- 21 -

Vorzugsweise umfassen die mindestens ein, vorzugsweise zwei, drei, vier, fünf, sechs, sieben oder acht erhaltenen Expressionsdatensätze Daten von mindestens 10, vorzugsweise mindestens 20, bevorzugter mindestens 30, noch bevorzugter mindestens 40, mindestens 50, mindestens 70, mindestens 100, mindestens 120, mindestens 140, mindestens 160 oder mindestens 200 unterschiedlichen Genen. Das Verfahren der Erfindung ist besonders geeignet, um durch große Datensätze zu filtrieren und die kennzeichnenden Marker darin zu identifizieren. Das erhaltene Set dieser Marker wird auch als "Klassifikator" bezeichnet.

Dieses Verfahren, Krebs-spezifische Marker und somit Komponenten, also Oligonukleotide oder Antikörper, welche für Krebs spezifisch sind, zu identifizieren, kann ebenfalls im obigen Verfahren des Diagnostizierens von Krebs verwendet werden. Also werden die Marker entsprechend dem für das diagnostische Verfahren verwendeten Set von Komponenten gemäß dem obigen Verfahren identifiziert (auch "klassifiziert" genannt), was die Verfeinerung und Festsetzen von Zentroid-Werten der gemessenen Werte der anfänglichen Datensätze einschließt. Dieses Muster kann dann verwendet werden, um Krebs zu diagnostizieren, falls die Werte der Probe des Patienten näher am geclusterten Zentroid-Wert der Tumormarker sind. Demgemäß wird ein Verfahren für die Diagnose von Krebs in einem Patienten vorgesehen, umfassend Beschaffen einer Probe, vorzugsweise einer Probe von Zellen, von dem Patienten, Nachweisen von einem oder mehreren Tumormarkern durch Messen von Tumormarker-Signalen mit dem Set gemäß der vorliegenden Erfindung, Vergleichen der gemessenen Signalwerte der Tumormarker mit Werten der Tumormarker in Krebsproben durch das oben erwähnte Identifizierungsverfahren und Diagnostizieren von Krebs, falls der Nearest-Shrunken-Centroid von Werten der Probe des Patienten für mindestens 50%, vorzugsweise mindestens 60%, bevorzugter mindestens 70% oder sogar mindestens 80%, insbesondere bevorzugte 90% Marker des Sets innerhalb der Standardabweichung, vorzugsweise zweimal der Standardabweichung, noch bevorzugter dreimal der Standardabweichung des Messverfahrens zum Nearest-Shrunken-Centroid der mit den Krebsproben identifizierten Tumormarker ist.

Die vorliegende Erfindung wird ferner durch die folgenden Figuren und Beispiele veranschaulicht, ohne darauf spezifisch



- 22 -

beschränkt zu werden.

Figuren:

Figur 1: Die ersten beiden Hauptbestandteile vor und nach DWD-Integration. Datensätze werden durch Farbe kodiert und Tumorgebilde werden durch Buchstaben gemäß der Legende kodiert.

Figur 2: Dendrogramm der DWD-integrierten Daten für alle Gene. Die Farben der Zweige des Dendrogramms zeigen den Datensatz der entsprechenden Probe an, die Farbe der Blattmarkierung zeigt das Tumorgebilde an.

Figur 3: Unterscheidung zwischen papillärem Karzinom und gutartigen Knötchen über vier unterschiedliche Datensätze durch nur ein Gen (SERPINA1).

Figur 4 zeigt einen Graph der durchschnittlichen Fehlerwahrscheinlichkeit während PTC-Klassifizierung von reduzierten Sets (Klassifikator) von Markern von Tabelle 2.

Figur 5 zeigt einen Graph der durchschnittlichen Fehlerwahrscheinlichkeit während FTC-Klassifizierung von reduzierten Sets (Klassifikator) von Markern von Tabelle 4.

Beispiele

Beispiel 1: Datensätze

Datensätze wurden von entweder Webseiten oder von öffentlichen Quellen (GEO, ArrayExpress) herunter geladen. Tabelle 7 zeigt eine Zusammenfassung der in dieser Studie verwendeten Datensätze (He et al., PNAS USA 102 (52): 19075-80 (2005); Huang et al., PNAS USA 98 (26): 15044-49 (2001); Jarzab Cancer Res. 65 (4): 1587-97 (2005); Lacroix Am. J. Pathol. 167 (1): 223-231 (2005); J. Clin. Endocrinol. Metab. 90 (5): 2512-21 (2005)). Hier werden drei unterschiedliche Kategorien von Nicht-Krebsgeweben verwendet: kontralateral (c.lat) für gesundes umgebendes Gewebe gepaart mit einer Tumorprobe, andere Krankheit (o.d.) für Schilddrüsengewebe, operiert für andere Krankheit, und SN (Struma nodosa) für gutartige Schilddrüsenknötchen. Für alle nachfolgenden Analysen wurden diese als gesund vereinigt.

Tabelle 7: Microarray-Daten, verwendet für Meta-Analyse

veröffentlicht		FTA	FTC	PTC	SN	o.d.	c.lat	Platform
Не	PNAS 2005	0	0	9	0	0	9	Affy U133plus
Huang	PNAS 2001	0	0	8	8	0	0	Affy U133A
Jarzab	Cancer Res 2005	0	0	23	0	11	17	Affy U133A
Lacroix	Am J Path 2005	4	8	0	11	0	0	Agilent Custom
Reyes	nicht veröffentlicht?	0	0	7	0	0	7	Affy U133A
Weber	J Clin Endocr	12	12	0	0	0	0	Affy U95A
Metabol 2005								

Beispiel 2: Finden der Gen-Überschneidung

Der erste Schritt in jeder MetaAnalyse von Microarray-Daten ist es, das Set von Genen zu finden, welches von allen in der Analyse verwendeten Microarray-Platformen geteilt wird. Traditionell wird Überschneidung durch das Finden gemeinsamer UniGen-Identifikatoren bestimmt. Dies lässt jedoch alle möglichen Spleißvariationen in den untersuchten Genen außer Acht. Falls ein Gen zum Beispiel 2 Spleißvarianten hatte, von welchen eine in dem Versuch differentiell exprimiert war und die andere nicht und falls eine Platform ein Oligo enthalten würde, welches nur für die differentiell exprimierte Variante spezifisch ist, und die andere Platform nur ein Oligo zur anderen Variante, dann würde ein auf UniGene basiertes Abgleichen Sonden verschmelzen, welche unterschiedliche Dinge messen.

Um dieses Problem zu überwinden, verschmilzt die hier angenommene Herangehensweise nur Sonden, welche den gleichen Satz von RefSeq Identifikatoren annotieren. Zu diesem Zweck wurden alle passenden RefSeqs für jede(s) Sonde(nset) herunter geladen, entweder durch Bioconductor Annotationspakete (hgu133a, hgu95a und hgu133plus2; erhältlich im Web www.bioconductor.org) oder durch eine BLAST-Suche der Sequenzen bei NCBI-Database. Dann wurden für jede Sonde die RefSeqs sortiert und konzentriert. Dies ist die genaueste Darstellung der an dem Array gemessenen Einheit. Der Medianwert wurde verwendet, falls ein Set von RefSeqs durch Mehrfachsonden an dem Array repräsentiert war. Es waren 5707 unterschiedliche Sets von RefSeqs an allen Arrays vorhanden.

Beispiel 3: Vorverarbeitung und Datenintegration

-24-

Zuerst wurde jeder Datensatz untergrundkorrigiert und getrennt normalisiert, wie für jede Platform empfohlen (Lowess für duale Farbe und Quantil-Normalisierung für einfarbige Experimente) (Bolstad et al. Bioinformatics 19 (2): 185-193 (2003); Smyth et al. Methods 31 (4): 265-273 (2003)), dann wurden sie verschmolzen und gemeinsam Quantil-normalisiert. Trotz aller Vorverarbeitung ist gezeigt worden, dass auf unterschiedlichen Microarray-Platformen oder auf unterschiedlichen Generationen der selben Platform erzeugte Daten aufgrund der Platform-spezifischen Verzerrungen nicht vergleichbar sein können (Eszlinger et al., Clin. Endocrinol. Metab. 91 (5): 1934-1942 (2006)). Dies ist von Hauptbestandteilsanalyse der verschmolzenen Daten wie in Fig. 1 gezeigt ebenfalls offensichtlich. Um diese Verzerrungen zu bereinigen, sind Verfahren für Integration von Microarray-Daten entwickelt worden. Eines dieser Verfahren ist Distance-Weighted-Discrimination (DWD), welches woanders detailliert beschrieben wird (Benito et al., Bioinformatics 20 (1): 105-114 (2004)). Kurz: DWD projiziert Datenpunkte auf den Normalenvektor einer Klasse (Datensatz) - welcher wie durch eine modifizierte Support-Vector-Machine (SVM) berechnet Hyperebene trennt, und subtrahiert die Klassen (Datensatz) Mittelwerte. Daher müssen für ein Mehrklassenproblem (mehr als 2 Datensätze zu verschmelzen) die Datensätzen sequentiell verschmolzen werden. Für 6 Datensätze führt dies zu 720 unterschiedlichen Möglichkeiten für Verschmelzung, was Baum-strukturierte Herangehensweisen nicht einschließt, z.B. statt (((1 + 2) + 3) + 4) erwäge ((1 + 2) + (3)+ 4)). Die hier angewandten Verschmelzungsreihenfolgen wurden nach der allgemeinen Idee ausgewählt, dass ähnliche und größere Datensätze zuerst verschmolzen werden sollten und disparatere später. Es lohnt sich ebenfalls anzumerken, dass Zugeben einer Probe zu einem DWD-verschmolzenen Datensatz den ganzen Datensatz verändern wird, genau wie Zugeben einen neuen Zahl zu einem Vektor von Zahlen seinen Mittelwert verändern wird.

Datenintegration durch DWD wird in Figur 1 veranschaulicht, welche die Wirkung des Datenintegrationsverfahrens auf die ersten beiden Hauptbestandteile zeigt. In dieser Analyse war DWD in der Lage, die Trennung zwischen den Datensätzen zu entfernen, wie durch die PC-Plots und durch das Mischen der Zweige in dem Dendrogramm (siehe Fig. 2) angezeigt. Jedoch trennen sich selbst





in dem DWD-integrierten Datensatz die Lacroix-Daten noch teilweise von den anderen Daten. Sehr wahrscheinlich liegt dies an der Platform; die Lacroix-Daten sind die einzigen Daten von einer Nicht-Affymetrix Platform. Figur 2 zeigt Dendrogramme der jeweiligen integrierten Datensätze. Auch scheint DWD-Integration nicht die Unterscheidung zwischen den Tumorgebilden zu behindern (siehe Tabelle 8 unten).

Beispiel 4: Klassifizierung

Für Sondenselektion wurde Klassifizierung und Kreuzvalidierung eines Nearest-Shrunken-Centroid Verfahrens gewählt (Tibshirani et al. PNAS USA 99 (10): 105-114 (2004)) (implementiert im Bioconductor-Paket pamr). Es wurde aus mehreren Gründen gewählt: es ermöglicht Mehrklassen-Klassifizierung und es betreibt Merkmalsselektion, Klassifizierung und Kreuzvalidierung in einem Druchgang. Kurz: es errechnet mehrere unterschiedliche mögliche Klassifikatoren unter Verwendung unterschiedlicher Schrumpfungs-Schwellenwerte (also unterschiedlich Anzahl von Genen) und findet den besten Schwellenwert aus Kreuzvalidierung. Der Klassifikator wurde mit der kleinsten Anzahl an Genen (größter Schwellenwert) ausgewählt, falls mehr als ein Schwellenwert die gleichen Kreuzvalidierungsergebnisse ergaben.

Beispiel 5: Papilläres Schilddrüsenkarzinom (PTC)

Zuerst und als Qualitätsmaßstab für jede Studie wurde jeder Datensatz getrennt genommen (vor DWD-Integration) und eine pamr-Klassifizierung und Leave-One-Out Kreuzvalidierung (loocv) wurden durchgeführt. Die Ergebnisse der Kreuzvalidierung sind nahezu perfekt bei einzelnen falsch klassifizierenden Proben. Jedoch kann mit Ausnahme des Klassifikators vom He-Datensatz keiner dieser Klassifikatoren auf einen der anderen Datensätze angewendet werden. Klassifizierungsergebnisse sind selten auch nur höher als durch Zufall erwartet. Falls man jedoch die DWD-integrierten Daten (unten) verwendet, passen die Klassifikatoren schon viel besser (siehe Tabelle 8).

Tabelle 8: Klassifizierungsergebnisse bei Anwenden von Klassifikatoren von einer Studie auf eine andere Studie. Vor Datenintegration (links) und nach DWD-Integration (rechts)



_	2	6	_
---	---	---	---

Test- reihe	he	huang	jarzab	reyes
he	1,0	0 1,0	0 0,98	1,00
huang	0,5	0 1,0	0 0,55	0,50
jarzab	0,5	0 0,8	1 1,00	0,57
reyes	0,7	8 0,5	0 0,92	1,00

Test- reihe	he		huang	jarzab	reyes
he		1,00	1,00	0,96	1,00
huang		0,50	1,00	0,90	0,71
jarzab		0,89	1,00	1,00	1,00
reyes		0,89	0,88	0,90	1,00

Dann wurde ein pamr-Klassifikator für den vollständigen DWDintegrierten Datensatz konstruiert und in einer Leave-One-Out Kreuzvalidierung validiert. Dies identifizierte einen (!) Gen-Klassifikator, welcher 99% von Proben korrekt in loocv klassifiziert. Dieses unterscheidende Gen ist SERPINA1. Fig. 3 zeigt die Unterscheidung von PTC gegenüber SN vor und nach DWD. Man könnte bis zu 422 Gene zum Klassifikator dazugeben und noch 99% Genauigkeit (von loocv) erreichen. Falls man die SERPINA1-Sonde aus der Analyse entfernt, kann man wieder einen Klassifikator (nachfolgend Klassifikator 2 genannt) mit 99% Genauigkeit in loocv konstruieren, dieses Mal unter Verwendung einer 9-Gen Signatur (siehe Tabelle 3). Entfernen dieser 9 Gene ergibt einen weiteren 9-Gen Klassifikator mit einer ähnlichen Leistung (99% Genauigkeit) und ferner einen 11-Gen Klassifikator mit 99% Genauigkeit. Solche weiteren Klassifikator werden z.B. in Tabellen 1 bis 3, 5 und 6 (oben) für PTC angegeben.

Jedoch werden ähnliche Ergebnisse unter Durchführung der gleichen Analyse von nicht-integrierten Daten erhalten. Unter Berücksichtigung der Ergebnisse von PCA (Fig. 1), wo es offensichtlich war, dass die Varianz, erklärt durch die unterschiedlichen Datensätze, viel größer ist, als die durch Tumorgebilde erklärte Varianz, könnte man sich vorstellen, dass die durch die Datensätze eingeführte Verzerrung Klassifizierung unterstützen (oder behindern) kann. Daher wurde eine Studien-Kreuzvalidierung durchgeführt, wobei sequenziell eine Studie aus dem Datensatz genommen wurde, ein Klassifikator aus den verbleibenden Proben konstruiert wurde und am eliminierten Datensatz getestet wurde. Für die DWD-integrierten Daten war die Genauigkeit der Vorhersage 100, 100, 98 und 100% beim Auslassen von jeweils He, Huang, Jarzab und Reyes aus dem Klassifikator. Für nicht-integrierte Daten waren die Ergebnisse ähnlich (100, 100, 94 und 100%).

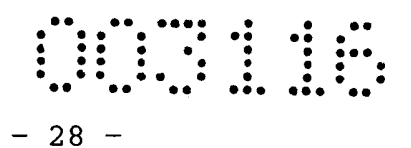
Tabelle 9: Gene in Klassifikator 2 (nach Auslassen von SERPINA1)

 27	_

Symbol	Titel	Cluster	Eingang
WAS	Wiskott-Aldrich-Syndrom	Hs.2157	BC012738
	(Ekzem-Thrombozytopenie)		
LRP4	Niedrigdichtes Lipoprotein Rezep- tor-bezogenes Protein 4	Hs.4930	BM802977
TFF3	Trefoil-Faktor 3 (intestinal)	Hs.82961	BC017859
ST3GAL6	ST3 beta-Galactosid alpha-2,3-Sia-lyltransferase 6	Hs.148716	BC023312
STK39	Serin-Threonin-Kinase 39	Hs.276271	BM455533
	(STE20/SPS1 Homolog, Hefe)		
DPP4	Dipeptidyl-Peptidase 4 (CD26, Adenosin-Deaminase-komplexierendes Protein 2)	Hs.368912	BC065265
CHI3L1	Chitinase 3-ähnlich 1 (Cartilage-Glycoprotein-39)	Hs.382202	BC038354
FABP4	Fettsäure-bindendes Protein 3, Adipozyt	Hs.391561	BC003672
LAMB3	Laminin, beta 3	Hs.497636	BC075838

Beispiel 6: Follikuläres Karzinom

Eine ähnliche Analyse wurde ebenfalls für die FTC-Daten durchgeführt, aber Kreuzvalidierung wurde wegen der sehr begrenzten Verfügbarkeit von Daten behindert. Wieder wurde ein Klassifikator für jeden Datensatz konstruiert (Lacroix und Weber). Sie erreichten eine loocv-Genauigkeit von 96% (Weber) und 100% (Lacroix) an 25 und 3997 Genen. Die Anzahl an Genen in den Lacroix-Daten legt bereits Überanpassung nahe, welche durch Kreuzklassifizierung mit dem anderen Datensatz (jeweils 25 und 35% Genauigkeit) bestätigt wurde. Auch ist die Gen-Überschneidung zwischen den beiden Klassifikatoren niedrig (zwischen 0 und 10% je nach Schwellenwert). Wenn jedoch die 2 Datensätze unter Verwendung von DWD vereinigt werden, konnte ein 147-Gen Klassifikator (Tabelle 4 oben) konstruiert werden, welcher in der Lage war, Proben richtig zu identifizieren (mit einer 92% Genauigkeit).



Beispiel 7: Diskussion

Die vorliegende Erfindung stellt die größte Kohorte von Schilddrüsenkarzinom-Microarray-Daten dar, welche bis jetzt analysiert wurde. Sie nutzt das neuartige kombinatorische Verfahren unter Verwendung der neuesten Algorithmen für Microarray-Daten-Integration und Klassifizierung. Dennoch stellt Meta-Analyse von Microarray-Daten noch eine Herausforderung dar, hauptsächlich weil einzelne Microarray-Untersuchungen auf zumindest teilweise unterschiedliche Fragen zielen und somit unterschiedliche experimentelle Entwürfe verwenden. Darüber hinaus ist die Anzahl an bis jetzt verfügbaren Schilddrüsentumor-Microarray-Daten noch vergleichsweise niedrig (verglichen mit z.B. Brustkrebs). Daher ist man beim Durchführen von Meta-Analyse gezwungen, alle verfügbaren Daten zu verwenden, selbst wenn die Patientenkohorten eine eher heterogene und potentiell verzerrte Population repräsentieren. Insbesondere ist es schwierig, eine homogene Sammlung von Kontrollmaterial (von gesunden Patienten) zu erhalten. Diese werden üblicherweise von Patienten genommen, welche wegen anderer Schilddrüsenerkrankung operiert wurden, was seinerseits sehr wahrscheinlich eine Veränderung in Genexpression wie an Microarrays gemessen verursacht. Die Erzeugung von homogenen Patientenkohorten wird weiter durch die begrenzte Verfügbarkeit von Patientendaten wie Alter, Geschlecht, genetischer Hintergrund usw. behindert.

Beim Durchführen von Meta-Analyse von Mircroarray-Daten haben viele Forscher ihre Herangehensweise auf Vergleichen von Genlisten von veröffentlichten Studien (Griffith et al., oben zitiert) basiert. Dies ist sehr nützlich, da man alle Studien in der Analyse einschließen kann und nicht auf die Studien beschränkt ist, wo Rohdaten verfügbar sind. Jedoch folgen die Studien im Allgemeinen sehr unterschiedlichen Analysestrategien, einige strenger als andere. Es ist nicht unter der Kontrolle des Meta-Analysierers, wie die Autoren zu den Genlisten kamen. Daher können diese Analysen verzerrt sein.

Hinsichtlich Datenintegration leistet DWD gemäß dem ursprünglichen DWD-Dokument am besten, wenn mindestens 25-30 Proben pro Datensatz vorhanden sind. In der vorliegenden Studie enthielten 4 von 6 Datensätzen weniger als 20 Proben. Dennoch



arbeitete DWD für das Entfernen von Platform-Verzerrungen vergleichsweise gut (siehe Tabelle 8).

DWD verbesserte in hohem Maße die Ergebnisse von PCA (Figur 1), hierarchischem Clustern (Figur 2) und die Klassifizierungsgenauigkeit beim Anwenden eines Klassifikators von einer Studie auf eine andere Studie (Tabelle 8). In diesem Licht war es überraschend zu sehen, dass die nicht-integrierten Daten in der Studien-Kreuzvalidierung gleich gut leisteten, verglichen mit den DWD-integrierten Daten. Eine Erklärung hierfür ist, dass jede studienspezifische Verzerrung weniger wichtig wird, je mehr Studien bewertet werden. Vorausgesetzt, dass die Studienverzerrung einige Gene mehr als andere beeinträchtigt, werden die beeinträchtigteren Gene wegen der durch die Studienverzerrung eingeführte Varianz weniger wahrscheinlich das pamr-Schwellenwertverfahren überleben. Jedoch gibt es, wie oben gezeigt, eine große Fülle von Genen, welche PTC und gutartige Knötchen unterscheiden. So lange eines (oder ein paar) jener Gene nicht durch die Studienverzerrung beeinträchtigt wird (werden), wird (werden) es (sie) Schwellenwertverfahren überleben und Unterscheidung zwischen Tumorgebilden wird noch möglich sein.

Es gibt eine offensichtliche Diskrepanz, wenn man Fig. 3 anschaut: Vor DWD haben die PTC-Proben eine höhere SERPINA1-Expression, während es nach DWD anders herum ist. Jedoch wie im Abschnitt Materialien und Methoden angemerkt, subtrahiert DWD die Klassenmittelwerte für jede Probe. Dies bedeutet einfach, dass vor DWD die Studienverzerrung für SERPINA1 höher ist als die Differenz in der Expression zwischen den Tumorklassen. Dies erklärt ebenfalls, warum SERPINA1 bei den nicht-integrierten Daten kein gut arbeitender Klassifikator ist.

Eine kürzliche Meta-Analyse und Meta-Übersicht von Griffith et al. (oben zitiert) hat Gene mit einem diagnostischen Potential im Zusammenhang von Schilddrüsenerkrankung zusammengefasst. Sie veröffentlichten Listen von Genen, welche in mehr als einer Schilddrüsenerkrankung analysierenden Studie mit hohem Durchsatz (Microarray, SAGE) erschienen, und wendeten ein Rangsystem an. In ihrer Analyse erreichte SERPINA1 den höchsten Rang, und TFF3, welches Teil von Klassifikator 2 ist (wenn SERPINA1 ausgelassen wird) erreichte den zweiten Rang. Vier von neun Genen von Klas-





sifikator 2 erschienen in der Liste von Griffith et al. (LRP4, TFF3, DPP4 und FABP4).

Die meisten dieser Listen wurden von Microarray-Analyse erzeugt. Jedoch selbst beim Vergleichen der Gene in den Klassifikatoren mit Genlisten, welche mit unabhängigen Technologien erzeugt wurden, wie cDNA-Bibliothek Erzeugung, gibt es wesentliche Überschneidung. SERPINA1 erscheint in ihren Listen, wie auch vier der neun Gene von Klassifikator 2 (TFF3, DPP4, CHI3L1 und LAMB3).

Für den Fall von follikulärer Schilddrüsenkrankheit ist Aufbauen eines robusten Klassifikators viel schwieriger. Dies ist hauptsächlich wegen der begrenzten Verfügbarkeit von Daten. Auch waren die beiden Datensätze bezüglich der verwendeten Platformen sehr unterschiedlich; während alle anderen Datensätze an Affymetrix GeneChips Arrays von unterschiedlichen Generationen erzeugt wurden, wurden die Lacroix-Daten auf einer maßgeschneiderten Agilent Platform erzeugt. Dennoch war der Klassifikator (Set) von Tabelle 4 in der Lage, die meisten Proben in loocv richtig zu identifizieren.

Das Leistungsvermögen der hier angenommenen Herangehensweise der Meta-Analyse wird durch eine 99% loocv-Genauigkeit (97,9% gewichtete durchschnittliche Genauigkeit in der Studien-Kreuzvalidierung) für die Unterscheidung zwischen papillärem Schilddrüsenkarzinom und gutartigen Knötchen gezeigt. Dies ist mit dem bislang größten und mannigfaltigsten Datensatz erreicht worden (99 Proben von 4 unterschiedlichen Studien).

Eine Probe wurde falsch klassifiziert und obwohl es nicht möglich ist, die Proben von dieser Analyse zur ursprünglichen Analyse abzubilden, ist die fehlklassifizierte Probe von der selben Gruppe (PTC, Validierungsgruppe) wie die Probe, welche in der ursprünglichen Analyse falsch klassifiziert war. Gemäß Jarzab et al. war die Probe ein Ausreißer, weil sie nur ~20% Tumorzellen enthielt.

Patentansprüche:

- 31 -

- 1. Set von Komponenten, spezifisch für mindestens 3 Tumormarker, ausgewählt aus den Tumormarkern PI-1 bis PI-33, PII-1 bis PII-64, PIII-1 bis PIII-70, FI-1 bis FI-147, PIV-1 bis PIV-9, vorzugsweise PIV-4 oder PIV-5, und PV-1 bis PV-11, vorzugsweise PV-1, PV-2 und PV-4 bis PV-11.
- 2. Set gemäß Anspruch 1, dadurch gekennzeichnet, dass das Set Komponenten umfasst, welche für mindestens 3 Tumormarker spezifisch sind, ausgewählt aus den Tumormarkern PI-1 bis PI-33, PII-1 bis PII-64, PIII-1 bis PIII-70 und PIV-1 bis PIV-9, vorzugsweise PIV-4 oder PIV-5, und PV-1 bis PV-11, vorzugsweise PV-1, PV-2 und PV-4 bis PV-11.
- 3. Set gemäß Anspruch 1, dadurch gekennzeichnet, dass das Set Komponenten umfasst, welche für mindestens 3 Tumormarker spezifisch sind, ausgewählt aus den Tumormarkern PI-1 bis PI-33.
- 4. Set gemäß Anspruch 1, dadurch gekennzeichnet, dass das Set Komponenten umfasst, welche für mindestens 3 Tumormarker spezifisch sind, ausgewählt aus den Tumormarkern FI-1 bis FI-147.
- 5. Set gemäß einem von Ansprüchen 1 bis 4, dadurch gekennzeichnet, dass das Set eine Komponente umfasst, welche für den Tumormarker SERPINA1 spezifisch ist.
- 6. Set gemäß einem von Ansprüchen 1 bis 5, dadurch gekennzeichnet, dass das Set mindestens 5, vorzugsweise mindestens 10, ebenfalls bevorzugt mindestens 15, bevorzugter mindestens 20, besonders bevorzugt mindestens 25, insbesondere bevorzugt 30 Komponenten, spezifisch für die Tumormarker und ausgewählt aus Tabellen 1 bis 6, umfasst.
- 7. Set gemäß einem von Ansprüchen 1 bis 6, dadurch gekennzeichnet, dass die Komponenten Oligonukleotide sind, welche für Tumormarker-Nukleinsäuren spezifisch sind.
- 8. Set gemäß einem von Ansprüchen 1 bis 7, dadurch gekennzeichnet, dass die Komponenten Antikörper oder Antikörperfragmente sind, vorzugsweise ausgewählt aus Fab, Fab' Fab2, F(ab')2 oder scFv, welche für Tumormarker-Proteine spezifisch sind.
- 9. Set gemäß einem von Ansprüchen 1 bis 8, dadurch gekennzeichnet, dass die Komponenten auf einem festen Träger immobilisiert sind, vorzugsweise in Form eines Microarrays.

- 32 -
- 10. Verfahren für den Nachweis von einem oder mehreren Schild-drüsenkrebs-Markern in einer Probe, welches Verwenden des Sets nach einem von Ansprüchen 1 bis 9 und Nachweisen der Anwesenheit oder Messen der Menge des Vorkommens von Tumormarkern in der Probe umfasst.
- 11. Verfahren nach Anspruch 10, dadurch gekennzeichnet, dass die Probe Zellen, vorzugsweise Säugerzellen, besonders bevorzugt menschliche Zellen umfasst.
- 12. Verfahren gemäß Anspruch 10 oder 11, dadurch gekennzeichnet, dass der Nachweis oder die Messung durch RNA-Expressionsanalyse, vorzugsweise durch Microarray oder quantitative PCR, oder Proteinanalyse, vorzugsweise durch Gewebe-Microarray-Nachweis, Protein-Microarray-Nachweis, mRNA-Microarray-Nachweis, ELISA, Multiplex-Tests, Immunhistochemie oder DNA-Analyse, komparative Genomhybridisierung (CGH)-Arrays oder Einzel-Nukleotid-Polymorphismus (SNP)-Analyse durchgeführt wird.
- 13. Verfahren für die Diagnose von Krebs in einem Patienten, umfassend Beschaffen einer Probe, vorzugsweise einer Probe von Zellen, von dem Patienten, Nachweisen von einem oder mehreren Tumormarkern gemäß einem Verfahren nach einem der Ansprüche 10 bis 12 oder durch Messen von Tumormarker-Signalen mit dem Set gemäß einem von Ansprüchen 1 bis 9, Vergleichen der gemessenen Signalwerte der Tumormarker mit Werten der Tumormarker in gesunden Proben und Diagnostizieren von Krebs falls (a) mehr als 50%, vorzugsweise mehr als 60%, bevorzugter mehr als 70%, insbesondere bevorzugt mehr als 80% der Werte sich verglichen mit den Werten der gesunden Proben durch mindestens die Standardabweichung, vorzugsweise zweimal die Standardabweichung, sogar bevorzugter dreimal die Standardabweichung des Messverfahrens unterscheiden und/oder (b) sich mehr als 50%, bevorzugt mehr als 60%, bevorzugter mehr als 70%, insbesondere bevorzugt mehr als 80% der Werte der Probe verglichen mit den Werten der gesunden Proben um mindestens einen Faktor 1,5 unterscheiden.
- 14. Verfahren für die Identifizierung von krankheitsspezifischen Markern, vorzugsweise Genen oder Genexpressionsmustern, umfassend:
- Vorsehen von Genexpressionsdaten zu mehrfachen potentiellen krankheitsspezifischen Genen von mindestens zwei unterschiedlichen Expressionsdatensätzen,

NACHGEREIC! IT

- · Bestimmen gemeinsamer Gene der Datensätze,
- Normalisieren von jedem Genexpressionsdatensatz, vorzugsweise durch Lowess- oder Quantil-Normalisierung,

- 33 -

- Vereinigen der Genexpressionsdatensätze zu einem vereinigten Datensatz und vorzugsweise Normalisieren des vereinigten Datensatzes und Integrieren des vereinigten Datensatzes,
- Bestimmen von Genen des vereinigten Datensatzes durch Bestimmen seines Nearest-Shrunken-Centroids, was die Bestimmung eines kreuzvalidierten Fehlerwerts von Zuweisen der Gene zur Krankheit und Minimieren des Fehlerwerts durch Verringern der Anzahl an Mitgliedern des vereinigten, vorzugsweise normalisierten Datensatzes einschließt,

wobei die Gene des verringerten Datensatzes die für die Krankheit spezifischen Marker sind.

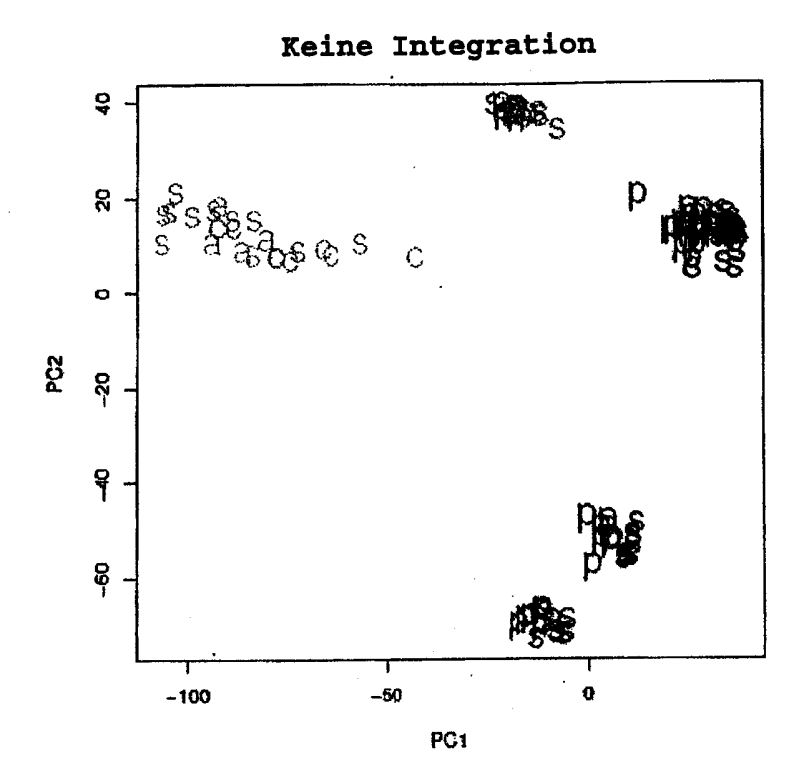
- 15. Verfahren nach Anspruch 14, dadurch gekennzeichnet, dass die Expressionsdaten Daten von mindestens zwei unterschiedlichen Microarray-Datensätzen umfassen, insbesondere mit studienspezifischen Verzerrungen.
- 16. Verfahren nach Ansprüchen 14 oder 15, dadurch gekennzeichnet, dass die Krankheit eine genetische Störung, vorzugsweise eine Störung mit veränderter Genexpression, insbesondere bevorzugt Krebs ist.
- 17. Verfahren nach einem von Ansprüchen 14 bis 16, dadurch gekennzeichnet, dass die erhaltenen Genexpressionsdaten rohe, unverarbeitete Genexpressiondaten sind.
- 18. Verfahren nach einem von Ansprüchen 14 bis 17, dadurch gekennzeichnet, dass der Vereinigungsschritt durch schrittweise Vereinigung von zwei Genexpressionsdatensätzen und Integration der vereinigten Daten, vorzugsweise durch DWD, durchgeführt wird.
- 19. Verfahren nach einem von Ansprüchen 14 bis 18, dadurch gekennzeichnet, dass jeder Expressionsdatensatz Daten von mindestens 10, vorzugsweise mindestens 20, bevorzugter mindestens 30, noch bevorzugter mindestens 40, insbesondere bevorzugt mindestens 50 unterschiedlichen Genen umfasst.
- 20. Verfahren nach einem von Ansprüchen 14 bis 19, dadurch gekennzeichnet, dass der Bestimmungsschritt für einen vereinigten Satz wiederholt wird, ohne dass die Gene in einem vorhergehenden Bestimmungsschritt bestimmt wurden.

NACHGEREIC: IT



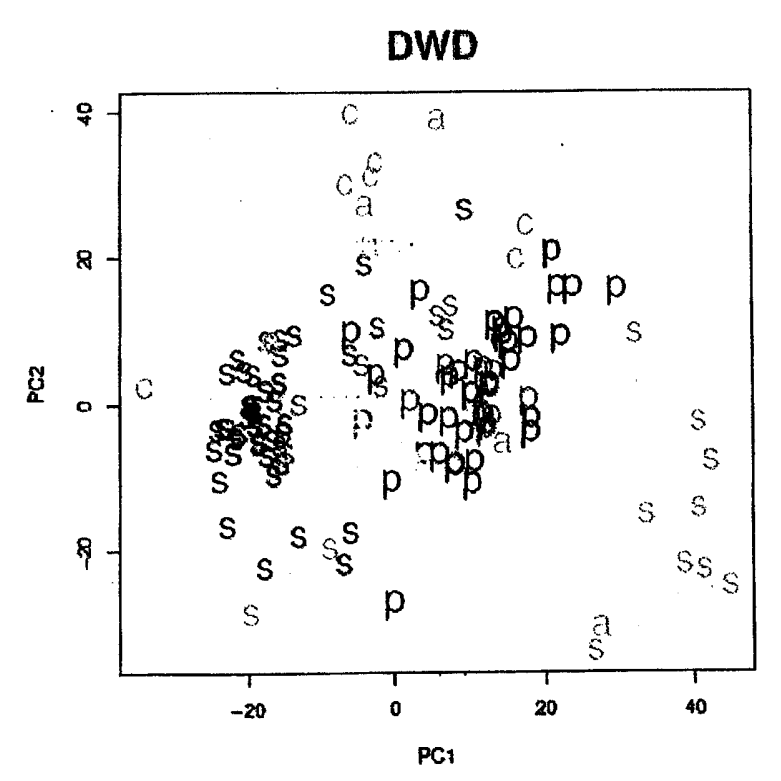
- 21. Verfahren nach einem von Ansprüchen 14 bis 20, dadurch gekennzeichnet, dass der Bestimmungsschritt die Bestimmung eines
 maximierten Schwellenwerts des Unterschieds des normalisierten
 Expressionswerts für jedes Gen zum Zentroid durch die Kreuzvalidierung umfasst, und worin die Gene mit niedrigeren normalisierten Expressionswerten als der Schwellenwert aus dem verringerten
 Satz entfernt werden.
- 22. Verfahren für die Diagnose von Krebs in einem Patienten, umfassend Beschaffen einer Probe, vorzugsweise einer Probe von Zellen, von dem Patienten, Nachweisen von einem oder mehreren Tumormarkern gemäß einem Verfahren nach einem von Ansprüchen 10 bis 12 oder durch Messen von Tumormarker-Signalen mit dem Set gemäß einem von Ansprüchen 1 bis 9, Vergleichen der gemessenen Signalwerte der Tumormarker mit Werten der Tumormarker in Krebsproben durch das Identifizierungsverfahren nach einem von Ansprüchen 14 bis 21 und Diagnostizieren von Krebs, falls der Nearest-Shrunken-Centroid von Werten der Probe des Patienten für mindestens 50% Marker des Sets innerhalb der Standardabweichung, vorzugsweise zweimal der Standardabweichung, noch bevorzugter dreimal der Standardabweichung des Messverfahrens zum Nearest-Shrunken-Centroid der mit den Krebsproben identifizierten Tumormarker ist.

Fig. 1





- c FTC
- p PTC
- s SN
- x he
- x huang
- x jarzab
- x lacroix
- x reyes weber



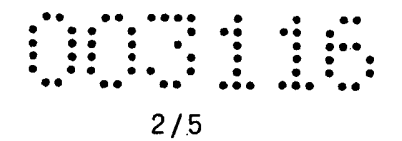
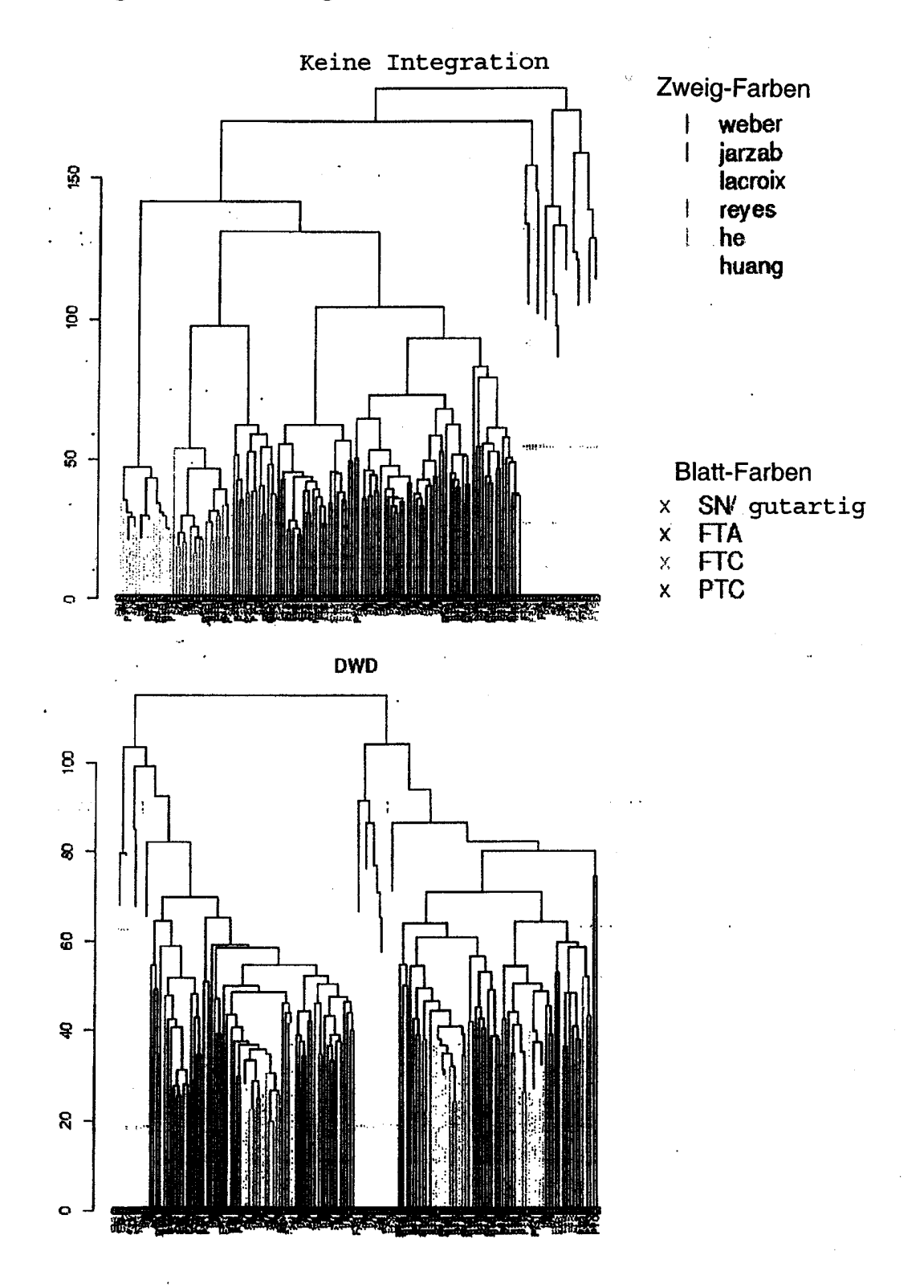


Fig. 2

Dendrogramm von integrierten Datensätzen für alle Gene



NACHGEREICHT

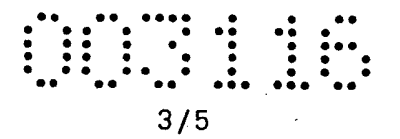
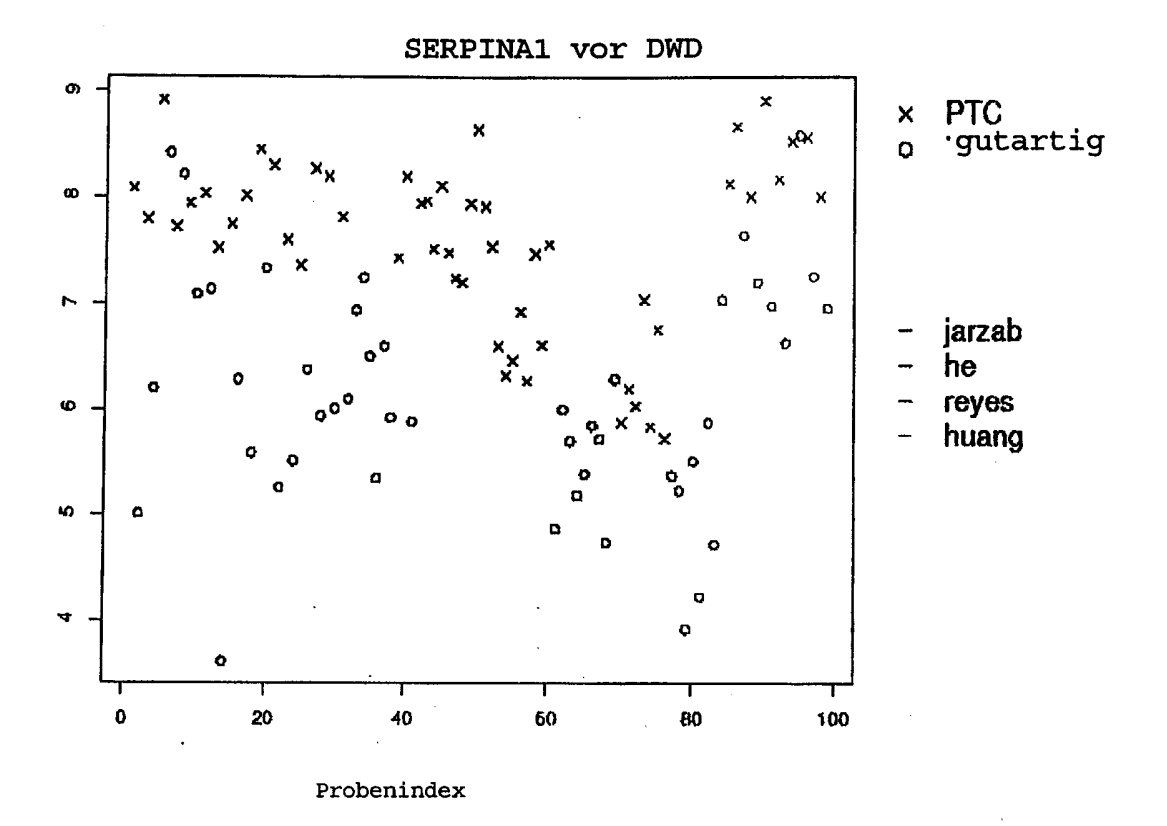
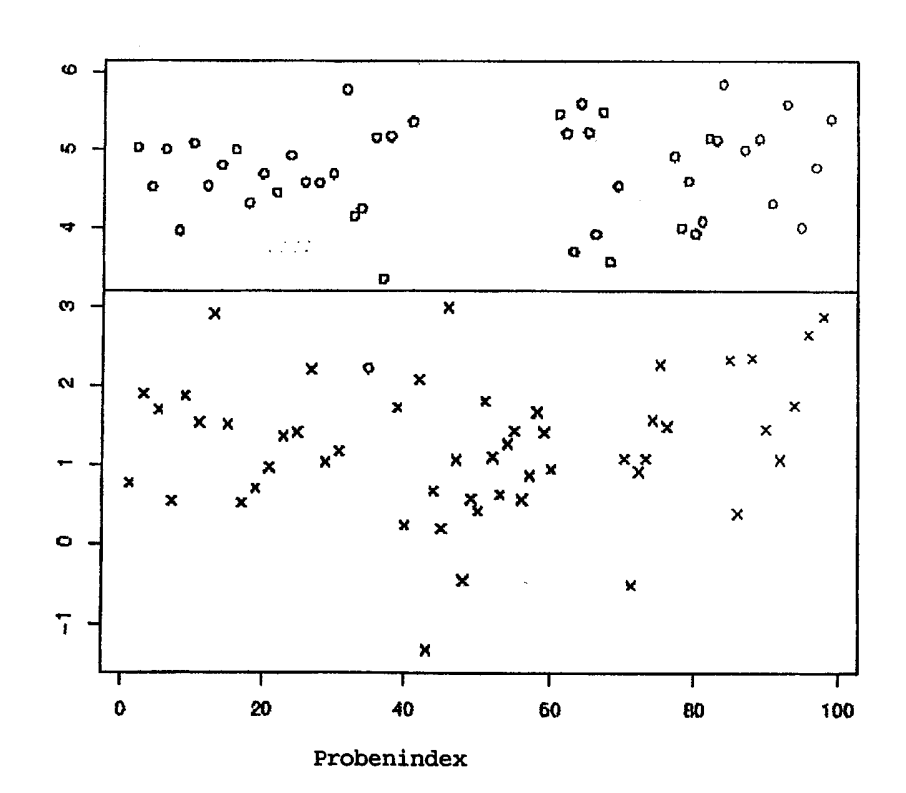


Fig. 3



SERPINA1 nach DWD



NACHGEREICHT

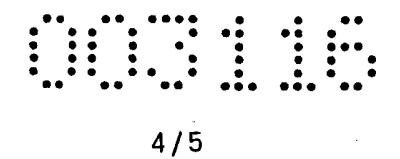
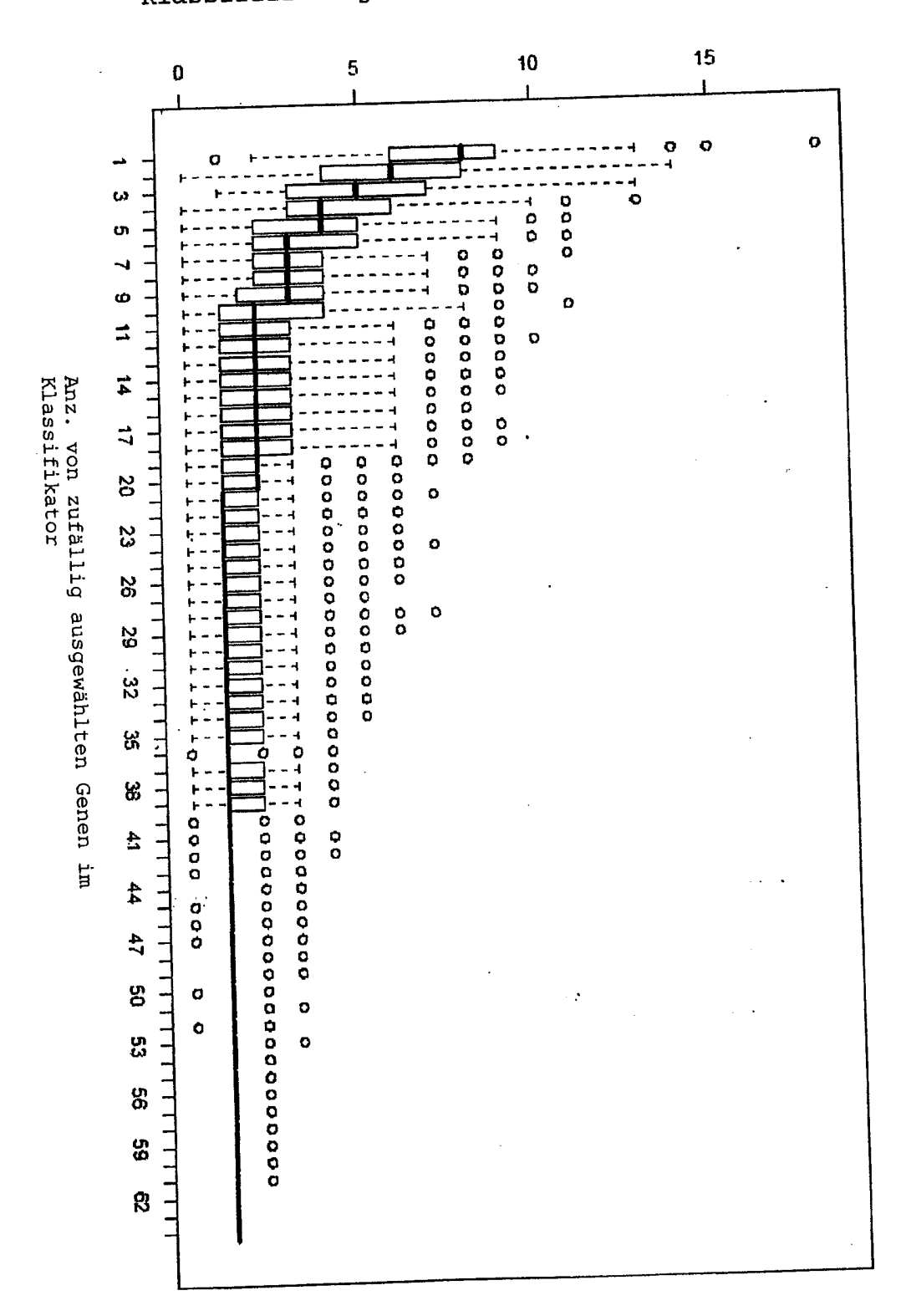


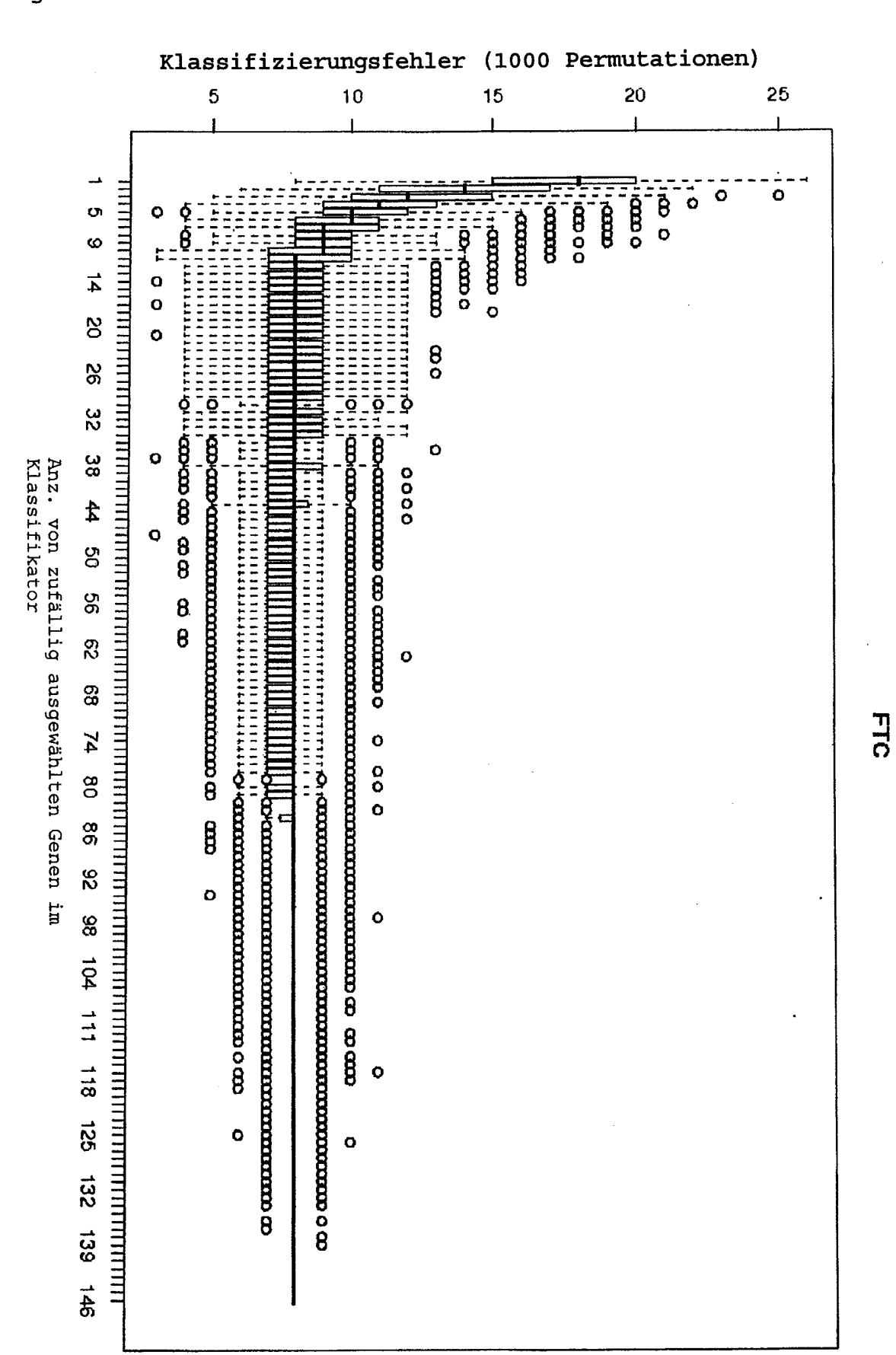
Fig. 4

Klassifizierungsfehler (1000 Permutationen)



NACHGEREICHT

Fig. 5



- 31 -

Patentansprüche:

Set von Einheiten, spezifisch für mindestens 3 Tumormarker, 1. ausgewählt aus den Tumormarkern BBS9, C13orf1, CBFA2T3, CDT1, CRK, CTPS, DAPK2, EIF5, EREG, GK, GPATCH8, HDGF, IRF2BP1, KRT83, MYOD1, NME6, POLE3, PPP1R13B, PRPH2, RASSF7, ROCK2, RTN1, S100B, SLIT2, SNRPB2, SPAG7, STAU1, SUPT5H, TBX10, TLK1, TM4SF4, TXN, UFD1L, ADH1B, AGR2, AGTR1 (Hs.477887), AGTR1 (Hs.654382), ALDH1A1, ALDH1A3, AMIGO2, ATP2C2, BID, C7orf24, CA4, CCL21, CD55, CDH16, CDH3, CFI, CHI3L1, CHST2, CITED2, CLCNKB, COMP, CTSH, DIO2, DIRAS3, DUSP4, DUSP5, EDN3, ENTPD1, FHL1, GDF15, GPM6A, HBA1, IRS1, KCNJ2, KCNN4, KLK10, LAMB3, LCN2, LMOD1, MATN2, MPPED2, MVP, NELL2, NFE2L3, NPC2, NRCAM, NRIP1, PAPSS2, PDLIM4, PDZK1IP1, PIP3-E, PLAU, PRSS2, PRSS23, RAP1GAP, S100A11, SFTPB, SLPI, SOD3, SPINT1, SYNE1, TACSTD2, UPP1, WASF3, APOE, ATIC, BASP1, C9orf61, CCL13, CD36, CDH6, CFB, CFD, CLDN10, COL11A1, COL13A1, CORO2B, CRLF1, CXorf6, DDB2, DPP6, ECM1, EFEMP1, ESRRG, ETHE1, FAS, FMOD, GABBR2, GALE, GATM, GDF10, GHR, GPC3, ICAM1, ID3, IER2, IGFBP6, IQGAP2, ITGA2, ITGA3, ITM2A, KIAA0746, LRIG1, LRP2, LY6E, MAPK13, MDK, MLLT11, MMRN1, MTMR11, MXRA8, NAB2, NMU, OCA2, PDE5A, PLAG1, PLP2, PLXNC1, PRKCQ, PRUNE, RAB27A, RYR2, SCEL, SELENBP1, SORBS2, STMN2, TBC1D4, TM4SF4, TNC, TPD52L1, TSC22D1, TTC30A, VLDLR, WFS1, AATF, ACOX3, AHDC1, ALAS2, ALKBH1, ANGPTL2, AP2A2, APOBEC3G, APRIN, ARNT, AZGP1, BAT2D1, BATF, BPHL, C13orf1, C14orf1, C2orf3, CBFB, CBR3, CBX5, CCNE2, CD46, CHPF, CHST3, CLCN2, CLCN4, CLIC5, CNOT2, COPS6, CPZ, CSK, CTDP1, DDEF2, DKFZP586H2123, DLG2, DPAGT1, DSCR1, DUSP8, EI24, ENOSF1, ERCC1, ERCC3, ERH, F13A1, FAM20B, FBP1, FCGR2A, FGF13, FGFR1OP, FLNC, FMO5, FRY, GADD45G, GCH1, GFRA1, GLB1, GOLGA8A, HCLS1, HDGF, HRC, ICMT, IFNA5, IGF2BP3, IL12A, ITIH2, ITPKC, JMJD2A, KCNJ15, KCTD12, KIAA0652, KIAA0913, KLKB1, KRT37, LAMB3, LPHN3, LRIG1, LSR, MANBA, MAP7, MAPKAPK5, MET, MMP14, MX1, MYL9, MYO9B, NCOR1, NDRG4, NDUFA5, NEUROD2, NFKB2, NME6, NPY1R, NUP50, PDGFRA, PDHX, PDLIM1, PEX1, PEX13, PIB5PA, PICK1, PLEC1, POLE2, POLE3, PPIF, PPP2R5A, PSCD2, PSMA5, PTPN12, PTPN3, PTPRCAP, QKI, RASAL2, RASSF7, RBM10, RBM38, RER1, RGL2, RHOG, RNASE1, RTN4, RYR2, SCC-112, SDS, SF3B2, SH3PXD2A, SIX6, SLC10A1, SLC6A8, SMG6, SNRPB2, SOX11, SPI1, SRGAP3, STX12,



SYK, TAF4, TCN2, TGOLN2, TIA1, TOMM40, TXN2, UGCG, USP11, VDR, VEGFC, YWHAQ, ZNF140, WAS, LRP4, TFF3, ST3GAL6, STK39, DPP4, CHI3L1, FABP4, LAMB3, vorzugsweise ST3GAL6 oder STK39, und GPR4, STAM2, QPCT, CDK7, SFTPD, CYB5R1, VWF, PDHX, HOXA4, vorzugsweise GPR4, STAM2, und CDK7, SFTPD, CYB5R1, VWF, PDHX, HOXA4.

- Set gemäß Anspruch 1, dadurch gekennzeichnet, dass das Set Einheiten umfasst, welche für mindestens 3 Tumormarker spezifisch sind, ausgewählt aus den Tumormarkern BBS9, C13orf1, CBFA2T3, CDT1, CRK, CTPS, DAPK2, EIF5, EREG, GK, GPATCH8, HDGF, IRF2BP1, KRT83, MYOD1, NME6, POLE3, PPP1R13B, PRPH2, RASSF7, ROCK2, RTN1, S100B, SLIT2, SNRPB2, SPAG7, STAU1, SUPT5H, TBX10, TLK1, TM4SF4, TXN, UFD1L, ADH1B, AGR2, AGTR1 (Hs.477887), AGTR1 (Hs.654382), ALDH1A1, ALDH1A3, AMIGO2, ATP2C2, BID, C7orf24, CA4, CCL21, CD55, CDH16, CDH3, CFI, CHI3L1, CHST2, CITED2, CLCNKB, COMP, CTSH, DIO2, DIRAS3, DUSP4, DUSP5, EDN3, ENTPD1, FHL1, GDF15, GPM6A, HBA1, IRS1, KCNJ2, KCNN4, KLK10, LAMB3, LCN2, LMOD1, MATN2, MPPED2, MVP, NELL2, NFE2L3, NPC2, NRCAM, NRIP1, PAPSS2, PDLIM4, PDZK1IP1, PIP3-E, PLAU, PRSS2, PRSS23, RAP1GAP, S100A11, SFTPB, SLPI, SOD3, SPINT1, SYNE1, TACSTD2, UPP1, WASF3, APOE, ATIC, BASP1, C9orf61, CCL13, CD36, CDH6, CFB, CFD, CLDN10, COL11A1, COL13A1, CORO2B, CRLF1, CXorf6, DDB2, DPP6, ECM1, EFEMP1, ESRRG, ETHE1, FAS, FMOD, GABBR2, GALE, GATM, GDF10, GHR, GPC3, ICAM1, ID3, IER2, IGFBP6, IQGAP2, ITGA2, ITGA3, ITM2A, KIAA0746, LRIG1, LRP2, LY6E, MAPK13, MDK, MLLT11, MMRN1, MTMR11, MXRA8, NAB2, NMU, OCA2, PDE5A, PLAG1, PLP2, PLXNC1, PRKCQ, PRUNE, RAB27A, RYR2, SCEL, SELENBP1, SORBS2, STMN2, TBC1D4, TM4SF4, TNC, TPD52L1, TSC22D1, TTC30A, VLDLR, WFS1, und WAS, LRP4, TFF3, ST3GAL6, STK39, DPP4, CHI3L1, FABP4, LAMB3, vorzugsweise ST3GAL6 oder STK39, und GPR4, STAM2, QPCT, CDK7, SFTPD, CYB5R1, VWF, PDHX, HOXA4, vorzugsweise GPR4, STAM2, und CDK7, SFTPD, CYB5R1, VWF, PDHX, HOXA4.
- 3. Set gemäß Anspruch 1, dadurch gekennzeichnet, dass das Set Einheiten umfasst, welche für mindestens 3 Tumormarker spezifisch sind, ausgewählt aus den Tumormarkern BBS9, C13orf1, CB-FA2T3, CDT1, CRK, CTPS, DAPK2, EIF5, EREG, GK, GPATCH8, HDGF, IRF2BP1, KRT83, MYOD1, NME6, POLE3, PPP1R13B, PRPH2, RASSF7, ROCK2, RTN1, S100B, SLIT2, SNRPB2, SPAG7, STAU1, SUPT5H, TBX10, TLK1, TM4SF4, TXN, UFD1L.
- 4. Set gemäß Anspruch 1, dadurch gekennzeichnet, dass das Set





Einheiten umfasst, welche für mindestens 3 Tumormarker spezifisch sind, ausgewählt aus den Tumormarkern AATF, ACOX3, AHDC1, ALAS2, ALKBH1, ANGPTL2, AP2A2, APOBEC3G, APRIN, ARNT, AZGP1, BAT2D1, BATF, BPHL, C13orf1, C14orf1, C2orf3, CBFB, CBR3, CBX5, CCNE2, CD46, CHPF, CHST3, CLCN2, CLCN4, CLIC5, CNOT2, COPS6, CPZ, CSK, CTDP1, DDEF2, DKFZP586H2123, DLG2, DPAGT1, DSCR1, DUSP8, E124, ENOSF1, ERCC1, ERCC3, ERH, F13A1, FAM20B, FBP1, FCGR2A, FGF13, FGFR1OP, FLNC, FMO5, FRY, GADD45G, GCH1, GFRA1, GLB1, GOLGA8A, HCLS1, HDGF, HRC, ICMT, IFNA5, IGF2BP3, IL12A, ITIH2, ITPKC, JMJD2A, KCNJ15, KCTD12, KIAA0652, KIAA0913, KLKB1, KRT37, LAMB3, LPHN3, LRIG1, LSR, MANBA, MAP7, MAPKAPK5, MET, MMP14, MX1, MYL9, MYO9B, NCOR1, NDRG4, NDUFA5, NEUROD2, NFKB2, NME6, NPY1R, NUP50, PDGFRA, PDHX, PDLIM1, PEX1, PEX13, PIB5PA, PICK1, PLEC1, POLE2, POLE3, PPIF, PPP2R5A, PSCD2, PSMA5, PTPN12, PTPN3, PTPRCAP, OKI, RASAL2, RASSF7, RBM10, RBM38, RER1, RGL2, RHOG, RNASE1, RTN4, RYR2, SCC-112, SDS, SF3B2, SH3PXD2A, SIX6, SLC10A1, SLC6A8, SMG6, SNRPB2, SOX11, SPI1, SRGAP3, STX12, SYK, TAF4, TCN2, TGOLN2, TIA1, TOMM40, TXN2, UGCG, USP11, VDR, VEGFC, YWHAQ, ZNF140.

- 5. Set gemäß einem von Ansprüchen 1 bis 4, dadurch gekennzeichnet, dass das Set eine Einheit umfasst, welche für den Tumormarker SERPINA1 spezifisch ist.
- Set gemäß einem von Ansprüchen 1 bis 5, dadurch gekennzeichnet, dass das Set mindestens 5, vorzugsweise mindestens 10, ebenfalls bevorzugt mindestens 15, bevorzugter mindestens 20, besonders bevorzugt mindestens 25, insbesondere bevorzugt 30 Einheiten, spezifisch für die Tumormarker und ausgewählt aus BBS9, C13orf1, CBFA2T3, CDT1, CRK, CTPS, DAPK2, EIF5, EREG, GK, GPATCH8, HDGF, IRF2BP1, KRT83, MYOD1, NME6, POLE3, PPP1R13B, PRPH2, RASSF7, ROCK2, RTN1, S100B, SLIT2, SNRPB2, SPAG7, STAU1, SUPT5H, TBX10, TLK1, TM4SF4, TXN, UFD1L, ADH1B, AGR2, AGTR1 (Hs.477887), AGTR1 (Hs.654382), ALDH1A1, ALDH1A3, AMIGO2, ATP2C2, BID, C7orf24, CA4, CCL21, CD55, CDH16, CDH3, CFI, CHI3L1, CHST2, CITED2, CLCNKB, COMP, CTSH, DIO2, DIRAS3, DUSP4, DUSP5, EDN3, ENTPD1, FHL1, GDF15, GPM6A, HBA1, IRS1, KCNJ2, KCNN4, KLK10, LAMB3, LCN2, LMOD1, MATN2, MPPED2, MVP, NELL2, NFE2L3, NPC2, NRCAM, NRIP1, PAPSS2, PDLIM4, PDZK1IP1, PIP3-E, PLAU, PRSS2, PRSS23, RAP1GAP, S100A11, SFTPB, SLPI, SOD3, SPINT1, SYNE1, TACSTD2, UPP1, WASF3, APOE, ATIC, BASP1, C9orf61,





CCL13, CD36, CDH6, CFB, CFD, CLDN10, COL11A1, COL13A1, CORO2B, CRLF1, CXorf6, DDB2, DPP6, ECM1, EFEMP1, ESRRG, ETHE1, FAS, FMOD, GABBR2, GALE, GATM, GDF10, GHR, GPC3, ICAM1, ID3, IER2, IGFBP6, IQGAP2, ITGA2, ITGA3, ITM2A, KIAA0746, LRIG1, LRP2, LY6E, MAPK13, MDK, MLLT11, MMRN1, MTMR11, MXRA8, NAB2, NMU, OCA2, PDE5A, PLAG1, PLP2, PLXNC1, PRKCQ, PRUNE, RAB27A, RYR2, SCEL, SELENBP1, SORBS2, STMN2, TBC1D4, TM4SF4, TNC, TPD52L1, TSC22D1, TTC30A, VLDLR, WFS1, AATF, ACOX3, AHDC1, ALAS2, ALKBH1, ANGPTL2, AP2A2, APOBEC3G, APRIN, ARNT, AZGP1, BAT2D1, BATF, BPHL, C13orf1, C14orf1, C2orf3, CBFB, CBR3, CBX5, CCNE2, CD46, CHPF, CHST3, CLCN2, CLCN4, CLIC5, CNOT2, COPS6, CPZ, CSK, CTDP1, DDEF2, DKFZP586H2123, DLG2, DPAGT1, DSCR1, DUSP8, EI24, ENOSF1, ERCC1, ERCC3, ERH, F13A1, FAM20B, FBP1, FCGR2A, FGF13, FGFR10P, FLNC, FMO5, FRY, GADD45G, GCH1, GFRA1, GLB1, GOLGA8A, HCLS1, HDGF, HRC, ICMT, IFNA5, IGF2BP3, IL12A, ITIH2, ITPKC, JMJD2A, KCNJ15, KCTD12, KIAA0652, KIAA0913, KLKB1, KRT37, LAMB3, LPHN3, LRIG1, LSR, MANBA, MAP7, MAPKAPK5, MET, MMP14, MX1, MYL9, MYO9B, NCOR1, NDRG4, NDUFA5, NEUROD2, NFKB2, NME6, NPY1R, NUP50, PDGFRA, PDHX, PDLIM1, PEX1, PEX13, PIB5PA, PICK1, PLEC1, POLE2, POLE3, PPIF, PPP2R5A, PSCD2, PSMA5, PTPN12, PTPN3, PTPRCAP, QKI, RASAL2, RASSF7, RBM10, RBM38, RER1, RGL2, RHOG, RNASE1, RTN4, RYR2, SCC-112, SDS, SF3B2, SH3PXD2A, SIX6, SLC10A1, SLC6A8, SMG6, SNRPB2, SOX11, SPI1, SRGAP3, STX12, SYK, TAF4, TCN2, TGOLN2, TIA1, TOMM40, TXN2, UGCG, USP11, VDR, VEGFC, YWHAQ, ZNF140, WAS, LRP4, TFF3, ST3GAL6, STK39, DPP4, CHI3L1, FABP4, LAMB3, GPR4, STAM2, QPCT, CDK7, SFTPD, CYB5R1, VWF, und PDHX, HOXA4, umfasst.

- 7. Set gemäß einem von Ansprüchen 1 bis 6, dadurch gekennzeichnet, dass die Einheiten Oligonukleotide sind, welche für Tumormarker-Nukleinsäuren spezifisch sind.
- 8. Set gemäß einem von Ansprüchen 1 bis 7, dadurch gekennzeichnet, dass die Einheiten Antikörper oder Antikörperfragmente sind, vorzugsweise ausgewählt aus Fab, Fab' Fab₂, F(ab')₂ oder scFv, welche für Tumormarker-Proteine spezifisch sind.
- 9. Set gemäß einem von Ansprüchen 1 bis 8, dadurch gekennzeichnet, dass die Einheiten auf einem festen Träger immobilisiert sind, vorzugsweise in Form eines Microarrays.
- 10. Verfahren für den Nachweis von einem oder mehreren Schilddrüsenkrebs-Markern in einer Probe, welches Verwenden des Sets



nach einem von Ansprüchen 1 bis 9 und Nachweisen der Anwesenheit oder Messen der Menge des Vorkommens von Tumormarkern in der Probe umfasst.

- 11. Verfahren nach Anspruch 10, dadurch gekennzeichnet, dass die Probe Zellen, vorzugsweise Säugerzellen, besonders bevorzugt menschliche Zellen umfasst.
- 12. Verfahren gemäß Anspruch 10 oder 11, dadurch gekennzeichnet, dass der Nachweis oder die Messung durch RNA-Expressionsanalyse, vorzugsweise durch Microarray oder quantitative PCR, oder Proteinanalyse, vorzugsweise durch Gewebe-Microarray-Nachweis, Protein-Microarray-Nachweis, mRNA-Microarray-Nachweis, ELISA, Multiplex-Tests, Immunhistochemie oder DNA-Analyse, komparative Genomhybridisierung (CGH)-Arrays oder Einzel-Nukleotid-Polymorphismus (SNP)-Analyse durchgeführt wird.
- Verfahren für die Diagnose von Schilddrüsenkrebs in einem Patienten, Nachweisen von einem oder mehreren Tumormarkern gemäß einem Verfahren nach einem der Ansprüche 10 bis 12 oder durch Messen von Tumormarker-Signalen mit dem Set gemäß einem von Ansprüchen 1 bis 9 in einer Probe des Patienten, vorzugsweise einer Probe von Zellen, Vergleichen der gemessenen Signalwerte der Tumormarker mit Werten der Tumormarker in gesunden Proben und Diagnostizieren von Krebs falls (a) mehr als 50%, vorzugsweise mehr als 60%, bevorzugter mehr als 70%, insbesondere bevorzugt mehr als 80% der Werte sich verglichen mit den Werten der gesunden Proben durch mindestens die Standardabweichung, vorzugsweise zweimal die Standardabweichung, sogar bevorzugter dreimal die Standardabweichung des Messverfahrens unterscheiden und/oder (b) sich mehr als 50%, bevorzugt mehr als 60%, bevorzugter mehr als 70%, insbesondere bevorzugt mehr als 80% der Werte der Probe verglichen mit den Werten der gesunden Proben um mindestens einen Faktor 1,5 unterscheiden.
- 14. Verfahren für die Identifizierung von krankheitsspezifischen Markern, vorzugsweise Genen oder Genexpressionsmustern, umfassend:
- Vorsehen von Genexpressionsdaten zu mehrfachen potentiellen krankheitsspezifischen Genen von mindestens zwei unterschiedlichen Expressionsdatensätzen,
- · Bestimmen gemeinsamer Gene der Datensätze,
- · Normalisieren von jedem Genexpressionsdatensatz, vorzugsweise



R 50329



durch Lowess - oder Quantil - Normalisierung,

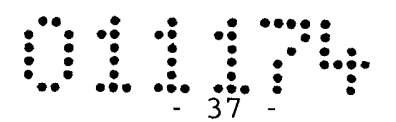
- Vereinigen der Genexpressionsdatensätze zu einem vereinigten Datensatz und vorzugsweise Normalisieren des vereinigten Datensatzes und Integrieren des vereinigten Datensatzes,
- Bestimmen von Genen des vereinigten Datensatzes durch Bestimmen seines Nearest-Shrunken-Centroids, was die Bestimmung eines kreuzvalidierten Fehlerwerts von Zuweisen der Gene zur Krankheit und Minimieren des Fehlerwerts durch Verringern der Anzahl an Mitgliedern des vereinigten, vorzugsweise normalisierten Datensatzes einschließt,

wobei die Gene des verringerten Datensatzes die für die Krankheit spezifischen Marker sind.

- 15. Verfahren nach Anspruch 14, dadurch gekennzeichnet, dass die Expressionsdaten Daten von mindestens zwei unterschiedlichen Microarray-Datensätzen umfassen, insbesondere mit studienspezifischen Verzerrungen.
- 16. Verfahren nach Anspruch 14 oder 15, dadurch gekennzeichnet, dass die Krankheit eine genetische Störung, vorzugsweise eine Störung mit veränderter Genexpression, insbesondere bevorzugt Krebs ist.
- 17. Verfahren nach einem der Ansprüche 14 bis 16, dadurch gekennzeichnet, dass die erhaltenen Genexpressionsdaten rohe, unverarbeitete Genexpressiondaten sind.
- 18. Verfahren nach einem der Ansprüche 14 bis 17, dadurch gekennzeichnet, dass der Vereinigungsschritt durch schrittweise Vereinigung von zwei Genexpressionsdatensätzen und Integration der vereinigten Daten, vorzugsweise durch DWD, durchgeführt wird.
- 19. Verfahren nach einem der Ansprüche 14 bis 18, dadurch gekennzeichnet, dass jeder Expressionsdatensatz Daten von mindestens 10, vorzugsweise mindestens 20, bevorzugter mindestens 30, noch bevorzugter mindestens 40, insbesondere bevorzugt mindestens 50 unterschiedlichen Genen umfasst.
- 20. Verfahren nach einem der Ansprüche 14 bis 19, dadurch gekennzeichnet, dass der Bestimmungsschritt für einen vereinigten Satz wiederholt wird, ohne dass die Gene in einem vorhergehenden Bestimmungsschritt bestimmt wurden.
- 21. Verfahren nach einem der Ansprüche 14 bis 20, dadurch gekennzeichnet, dass der Bestimmungsschritt die Bestimmung eines



R 50329



A 1359/2007

maximierten Schwellenwerts des Unterschieds des normalisierten Expressionswerts für jedes Gen zum Zentroid durch die Kreuzvalidierung umfasst, und worin die Gene mit niedrigeren normalisierten Expressionswerten als der Schwellenwert aus dem verringerten Satz entfernt werden.

22. Verfahren für die Diagnose von Krebs in einem Patienten, Nachweisen von einem oder mehreren Tumormarkern gemäß einem Verfahren nach einem der Ansprüche 10 bis 12 oder durch Messen von Tumormarker-Signalen mit dem Set gemäß einem der Ansprüche 1 bis 9, in einer Probe des Patienten, vorzugsweise einer Probe von Zellen, Vergleichen der gemessenen Signalwerte der Tumormarker mit Werten der Tumormarker in Krebsproben durch das Identifizierungsverfahren nach einem der Ansprüche 14 bis 21 und Diagnostizieren von Krebs, falls der Nearest-Shrunken-Centroid von Werten der Probe des Patienten für mindestens 50% Marker des Sets innerhalb der Standardabweichung, vorzugsweise zweimal der Standardabweichung des Messverfahrens zum Nearest-Shrunken-Centroid der mit den Krebsproben identifizierten Tumormarker ist.

